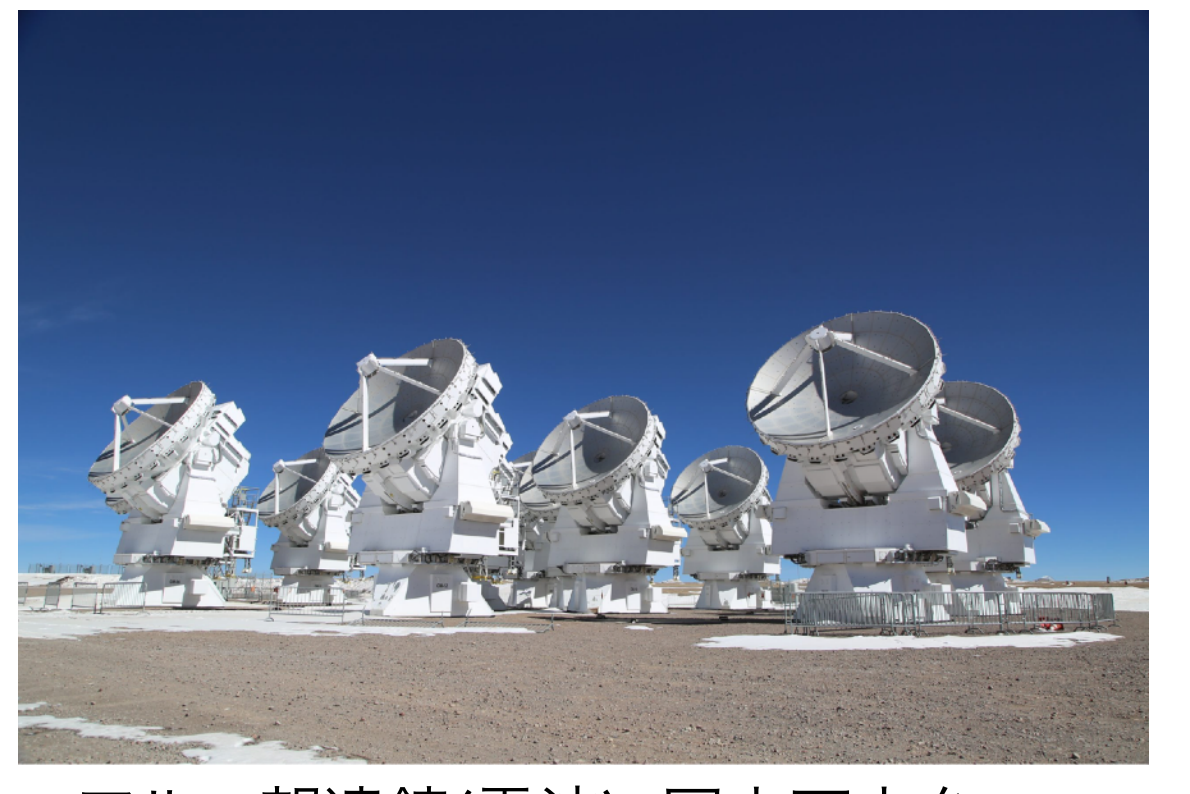
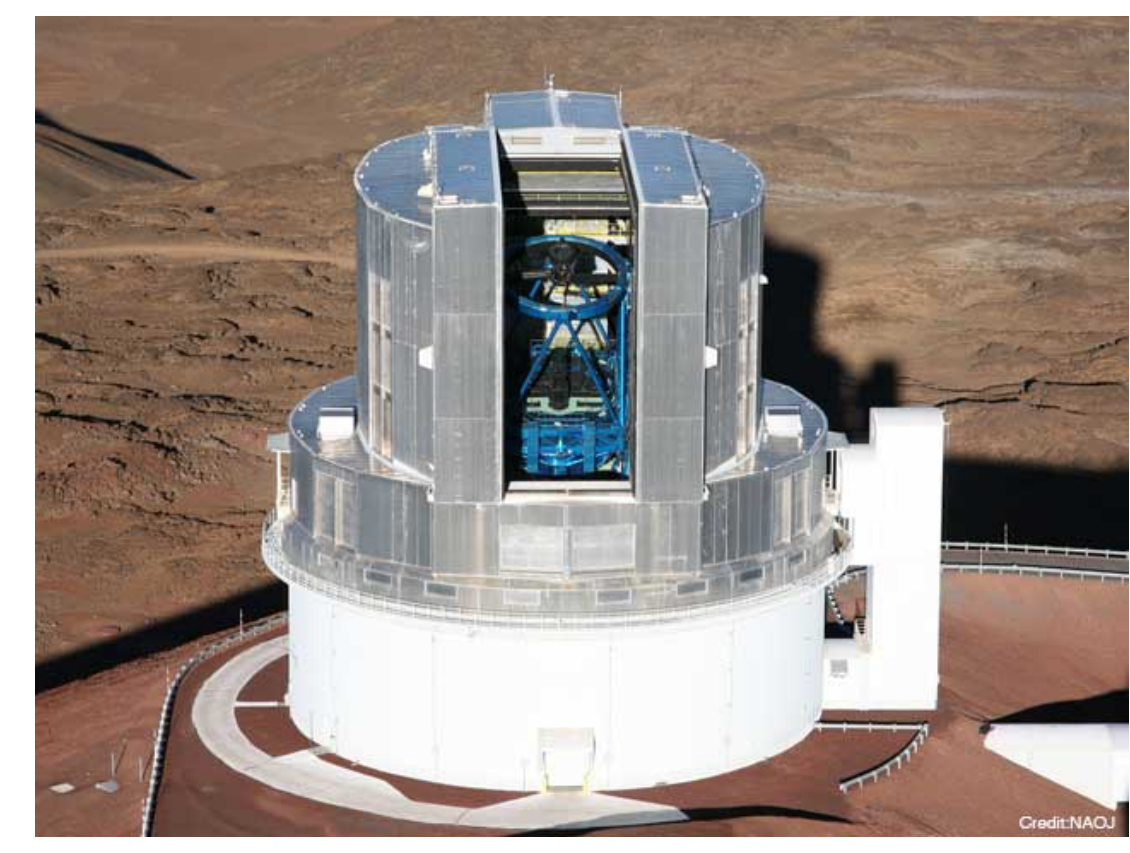
天文学

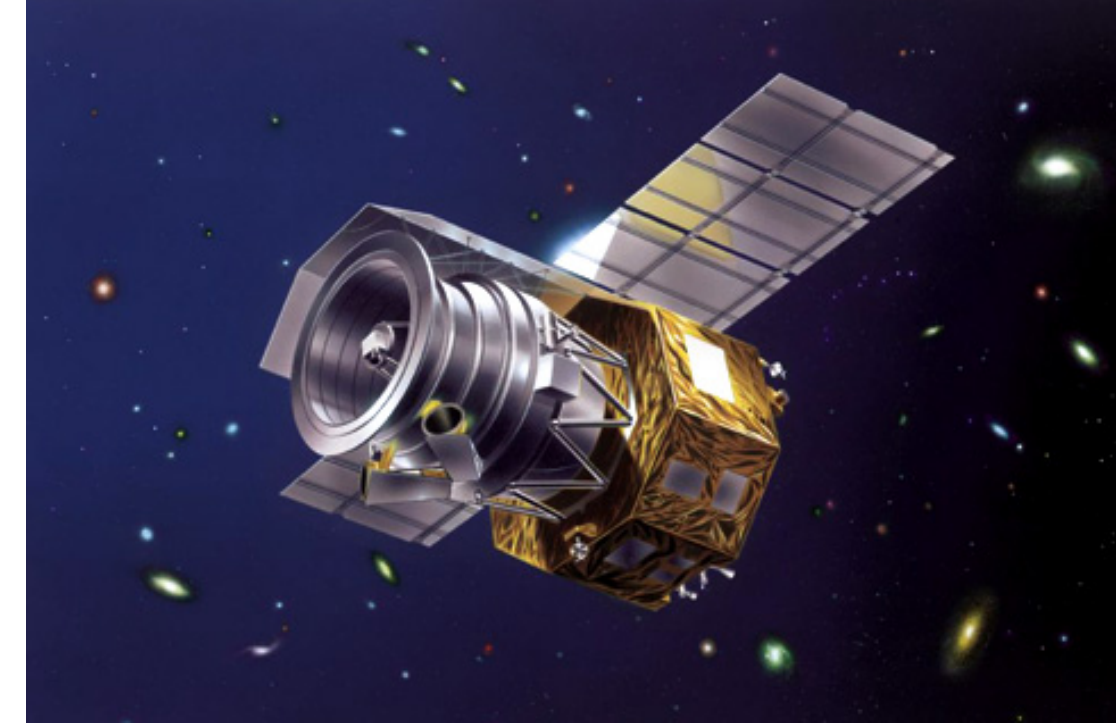
理工·総合情報学部講義 月曜5限



アルマ望遠鏡(電波): 国立天文台



すばる望遠鏡(可視光): 国立天文台



あかり衛星(赤外線): JAXA



すざく衛星(X線): JAXA

東京大学理学系研究科 鈴木昭宏

講義のアウトライン

- ・第1回:天文学への導入と様々な時間・空間スケールの天体
- ・第2回:電磁波による宇宙の観測
- ・第3回:太陽系内天体と天体の運動
- ・ 第 4 回: 天体の距離、明るさ、色
- ・第5回:恒星1-恒星のエネルギー源と核反応-

講義のアウトライン

- 第6回:恒星2 -恒星の分類と進化-
- ・ 第7回: 星の誕生と星間物質
- ・第8回:銀河1-銀河系の構成要素と位置天文学-
- 第9回:銀河2 -銀河の分類と進化-
- ・第10回:超新星爆発と元素の起源

講義のアウトライン

- ・第11回: 白色矮星、中性子星、ブラックホール
- ・第12回: ニュートリノ天文学と高エネルギー天体
- ・第13回: 重力波天文学と中性子星・ブラックホール
- ・第14回: 宇宙膨張の発見と宇宙の歴史
- ・第15回: 系外惑星の世界

第2回:

電磁波による宇宙の観測

- ・電磁波(可視赤外光・電波・X線ガンマ線)とその性質
- ・ 天体スペクトルと黒体放射
- ・原子・分子による吸収や輝線放射
- ・(光のドップラー効果)

電磁波(electromagnetic wave)

- ・光あるいは電磁波:空間を伝わり、エネルギーを運ぶ
- ・身近なのは可視光、人間は可視波長域の光・電磁波によって外界を知覚する
- ・光は粒子であり波でもある(2つの性質を合わせ持つ)
- ・<u>波動的描像</u> 電磁波(EM wave): 指向性を持ち、ある周期で振動する電場・磁場の変位とその重ね合わせ
- <u>粒子的描像</u> 光子(photon): 1つの光子がエネルギー・運動量(・スピン)を運ぶ

電磁波の性質: 伝搬速度

- . いわゆる光速(speed of light) c=299,792,458 m/s (真空中)
- 日常的な感覚からするとものすごく速い、しかし有限
- ・ 1秒に約30万km(3x10°m)進む ≒ 地球を7周半

・太陽から地球までは?



Wikipedia より

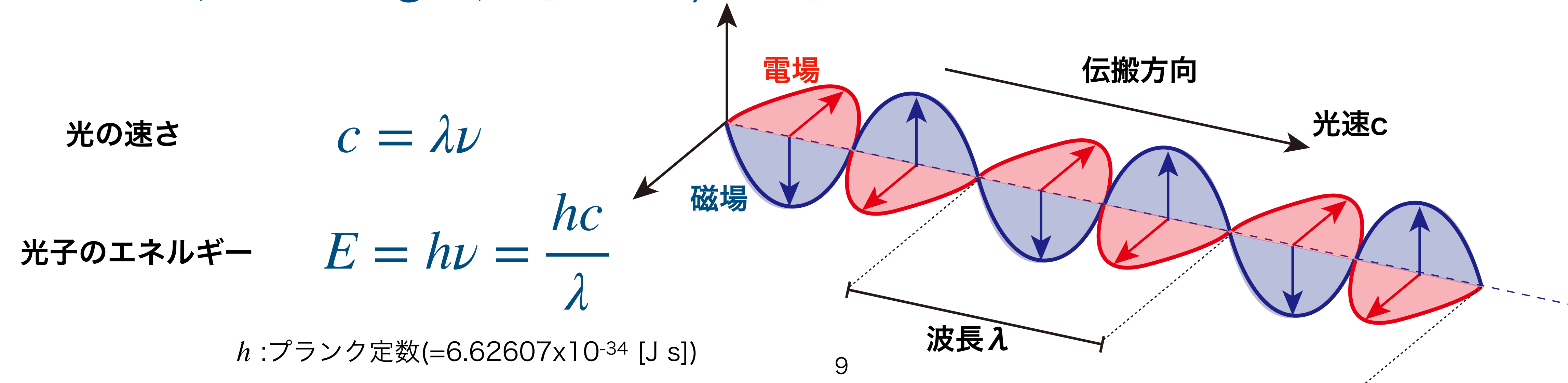
電磁波の性質: 伝搬速度

- . いわゆる光速(speed of light) c=299,792,458 m/s (真空中)
- 日常的な感覚からするとものすごく速い、しかし有限
- ・ 1秒に約30万km(3x10°m)進む ≒ 地球を7周半
- 太陽から地球までは? 500秒=8分くらい.
- ・太陽の表面から放たれた光を地球で見る場合、8分前の姿ということになる
- ・では、もっと遠く、宇宙の果てにある銀河からの光は??

電磁波の性質:周波数・波長

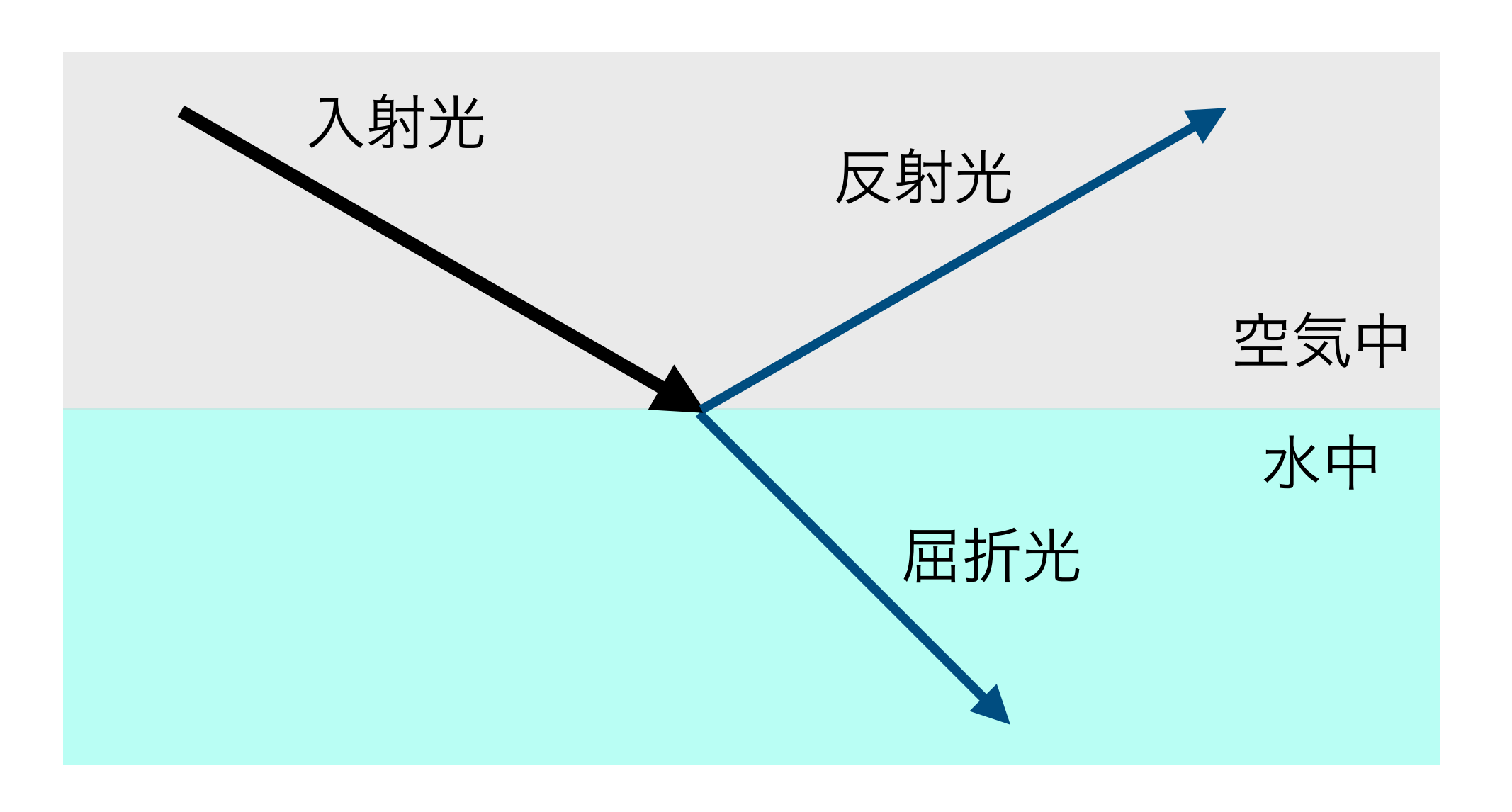
- ・電磁波は電場・磁場の変動が振動して伝搬する現象、特徴的な周期を持つ
- ・周波数(frequency) ν [Hz]: 1秒あたりに振動する回数

. 波長(wavelength) λ [nm, Å, μ m, …]: 1つの振動に対応する山+谷の長さ



電磁波の性質:反射・屈折

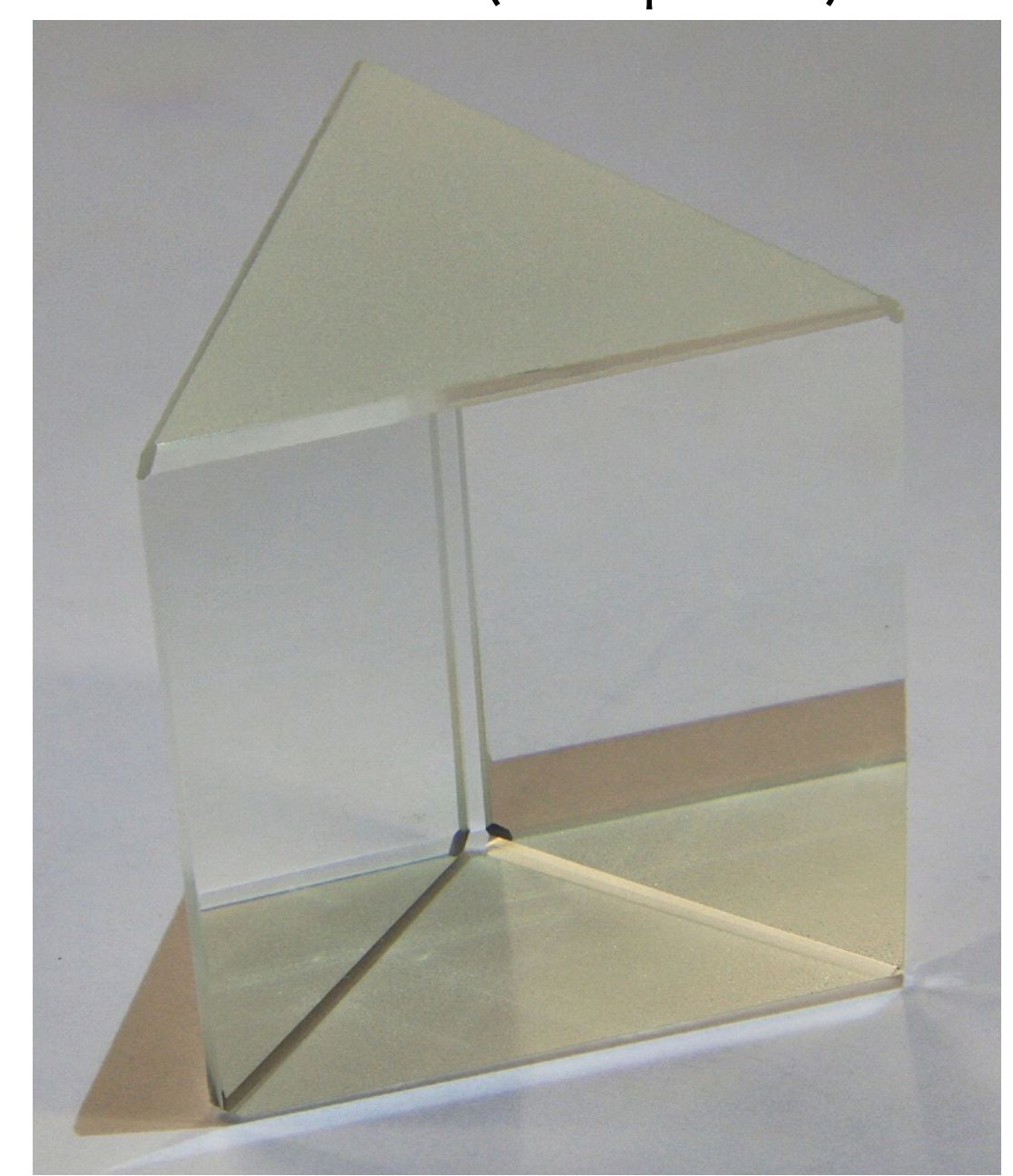
- ・電磁波は電場・磁場の変動が振動して伝搬する現象、特徴的な周期を持つ
- ・光はある媒質から別の媒質に進入すると(例えば空気中から水)折れ曲がる

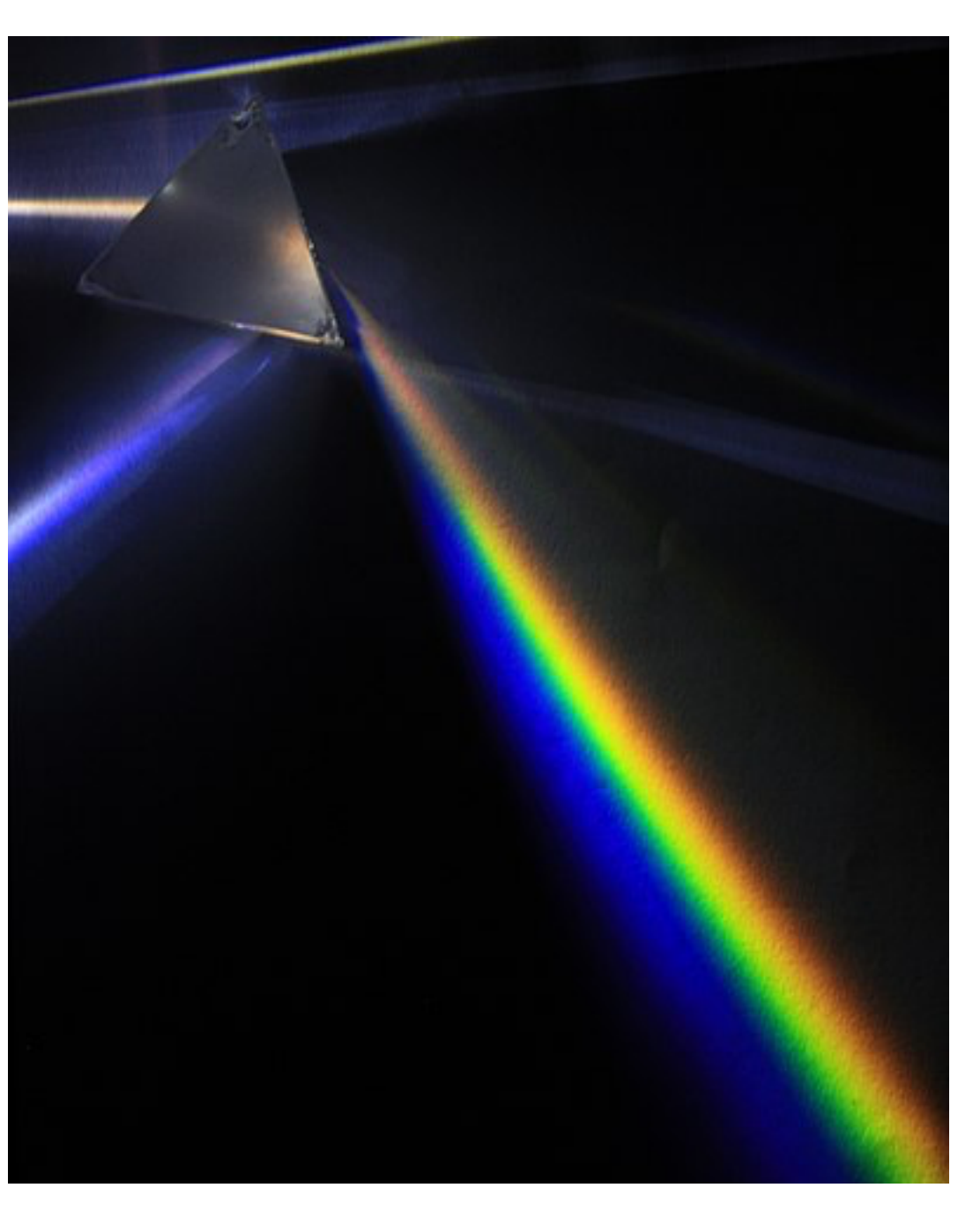


電磁波の性質:分光

- ・光はいろんな波長(周波数)を持てる
- ・波長の違いは色の違い
- ニュートンのプリズム実験
- ・太陽光(無色)が虹色(赤橙黄緑青藍紫)に
- ・太陽光には分解できる"成分"がある(分光)
- ・波長・周波数の異なる光の集合

三角プリズム(Wikipedia)

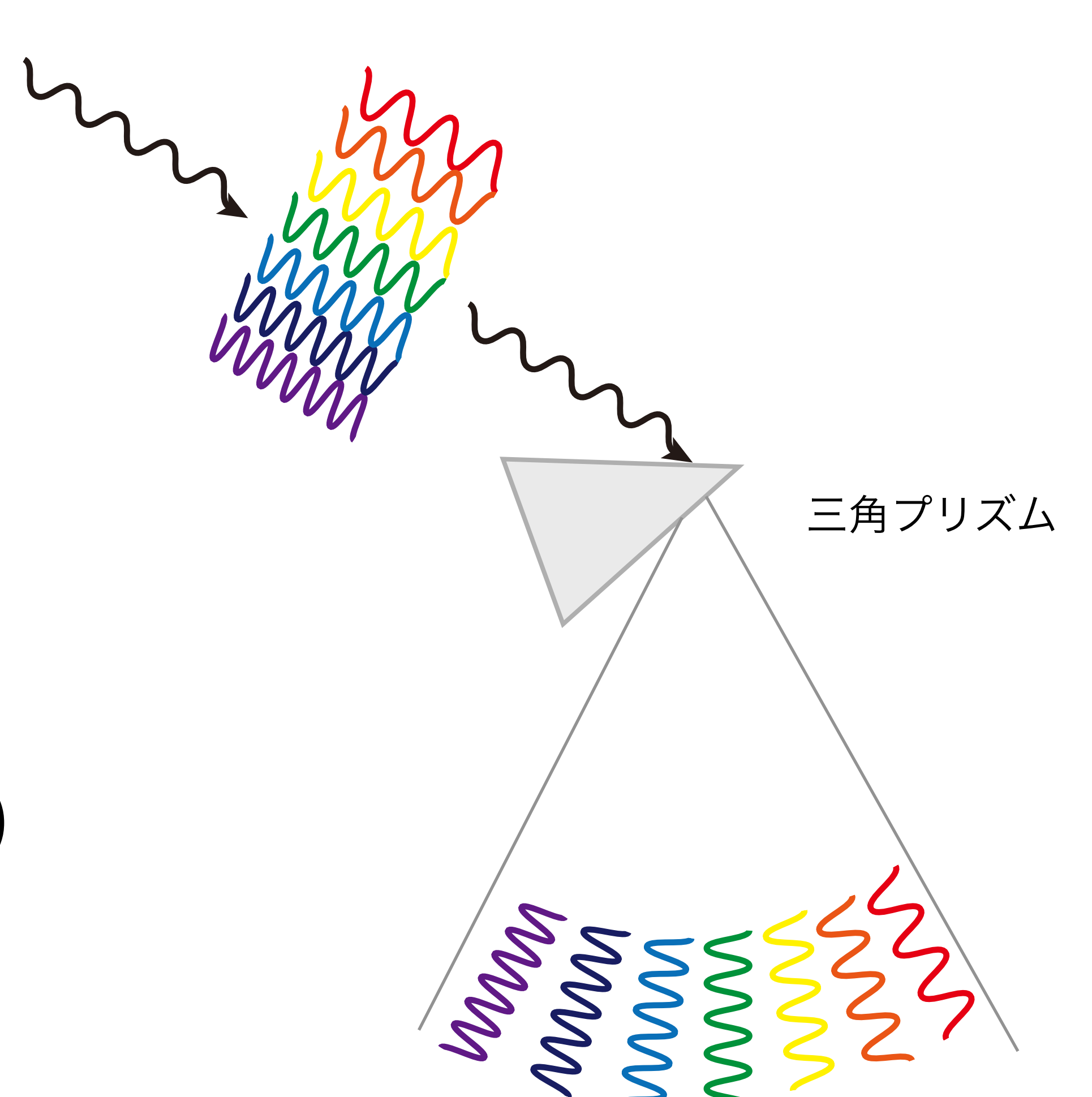




プリズム分光(Wikipedia)

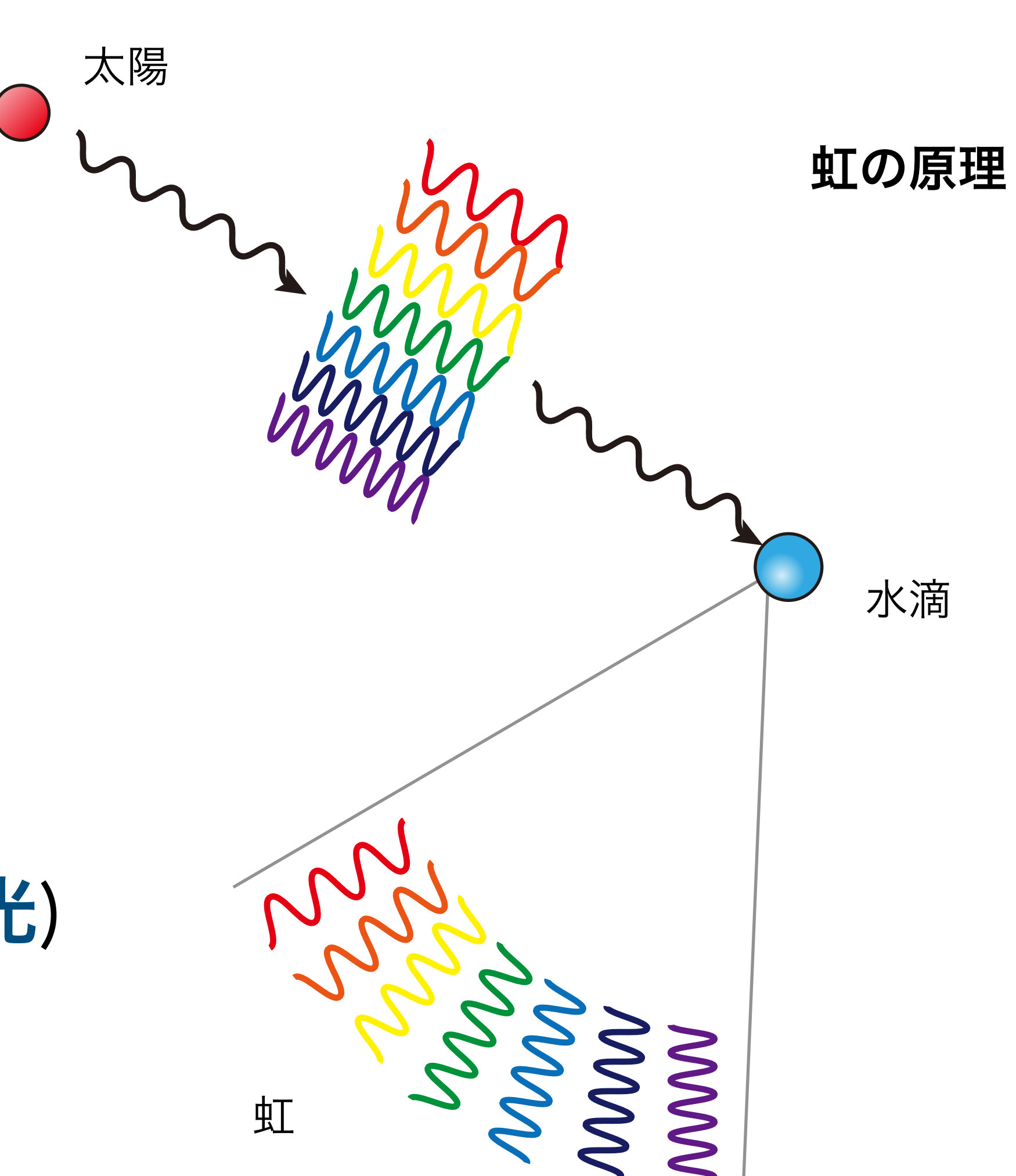
電磁波の性質:分光

- ・光はいろんな波長(周波数)を持てる
- ・波長の違いは色の違い
- ニュートンのプリズム実験
- ・太陽光(無色)が虹色(赤橙黄緑青藍紫)に
- ・太陽光には分解できる"成分"がある(分光)
- ・波長・周波数の異なる光の集合



電磁波の性質:分光

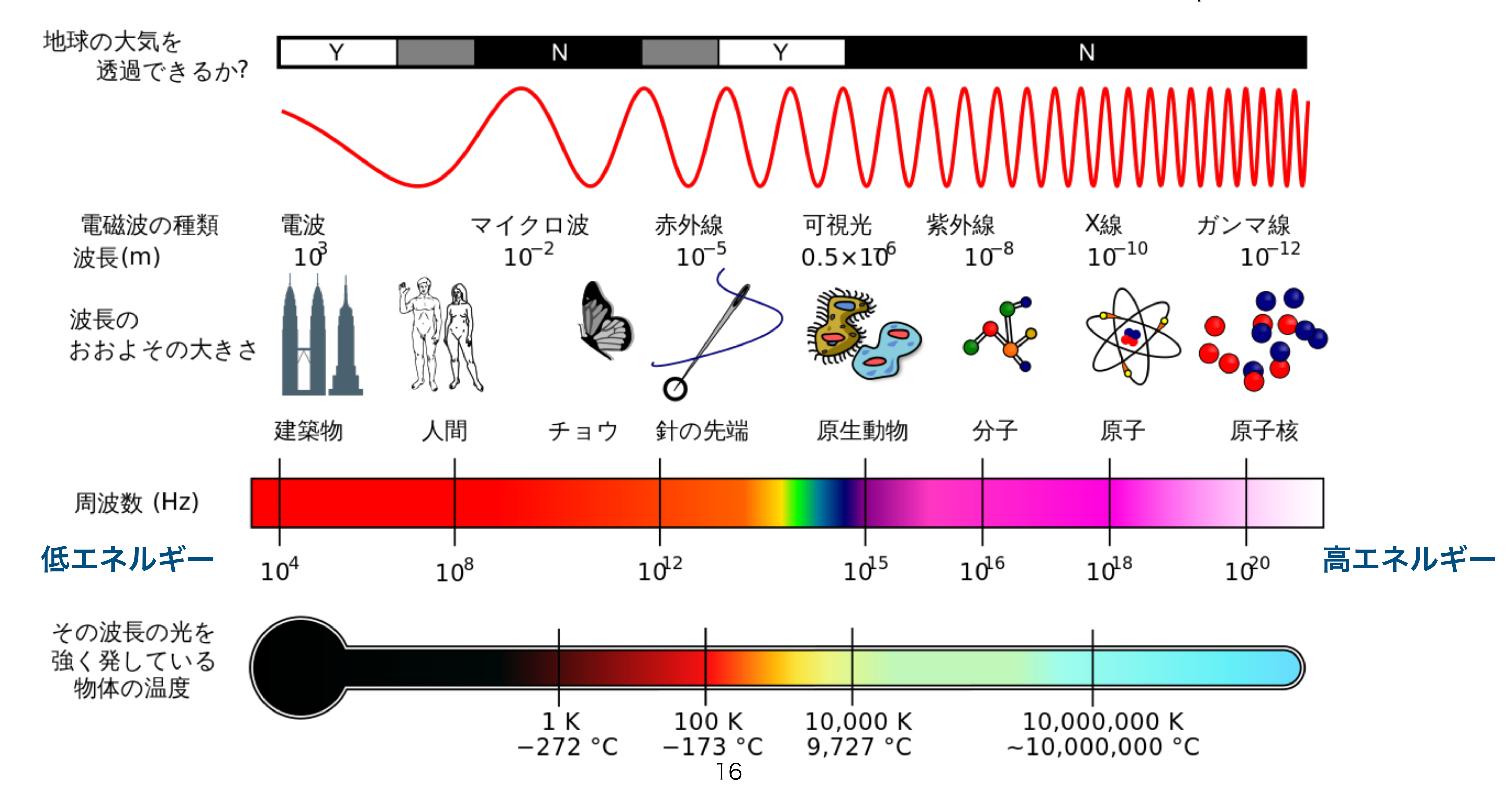
- ・光はいろんな波長(周波数)を持てる
- ・波長の違いは色の違い
- ニュートンのプリズム実験
- ・太陽光(無色)が虹色(赤橙黄緑青藍紫)に
- ・太陽光には分解できる"成分"がある(分光)
- ・波長・周波数の異なる光の集合



- ・可視光(optical・visible, 380-780nm)は電磁波のごく一部
- ・赤い可視光より<u>長い</u>波長の光: **赤外線(Infra-red・IR, ~μm)**
- ・紫の可視光より<u>短い</u>波長の光: 紫外線(Ultra-violet・UV, ~数100nm)

- ・可視光(optical・visible, 380-780nm)は電磁波のごく一部
- ・赤い可視光より<u>長い</u>波長の光: **赤外線(Infra-red・IR, ~μm)**
- ・紫の可視光より<u>短い</u>波長の光: 紫外線(Ultra-violet・UV, ~数100nm)
- ・赤外線よりさらに<u>長い</u>波長の光: 電波(radio)
- ・紫外線よりさらに<u>短い</u>波長の光: X線 (X-ray), ガンマ線 (ア-ray)

Wikipedia より



- ・それぞれ異なる特徴を持つ電磁波、観測装置や原理も異なる
- ・異なる天体現象あるいは同一の天体の異なる姿を描き出す



アルマ望遠鏡(電波): 国立天文台



あかり衛星(赤外線): JAXA



すばる望遠鏡(可視光): 国立天文台



すざく衛星(X線): JAXA

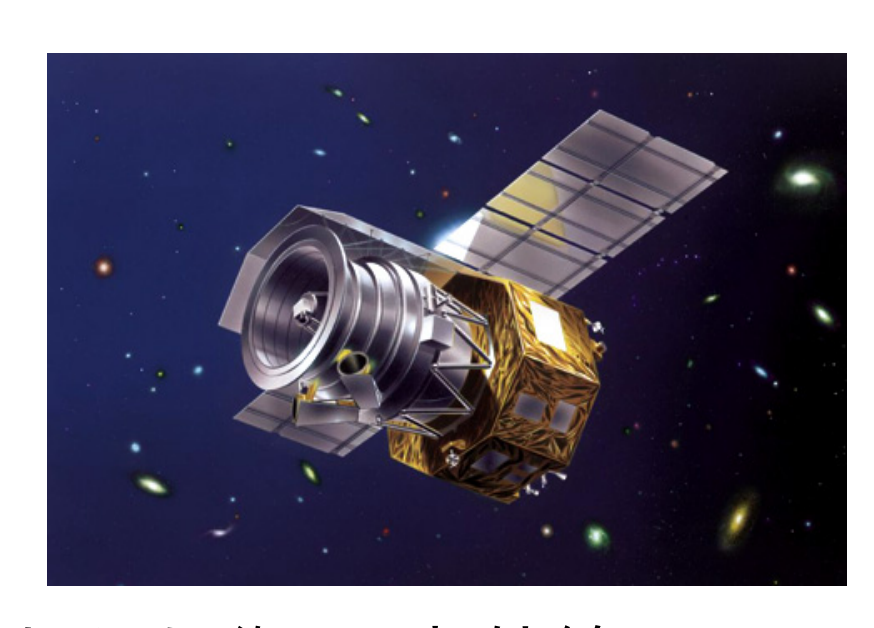
 $\mathbb{V}^{\mathbb{V}}$

電波 赤外線 ¹⁷ 可視光 紫外線 X線 ガンマ線

- ・現代天文学は、様々な波長での天体情報を総合して発展している
- · 多波長天文学(multi-wavelength astronomy)



アルマ望遠鏡(電波): 国立天文台



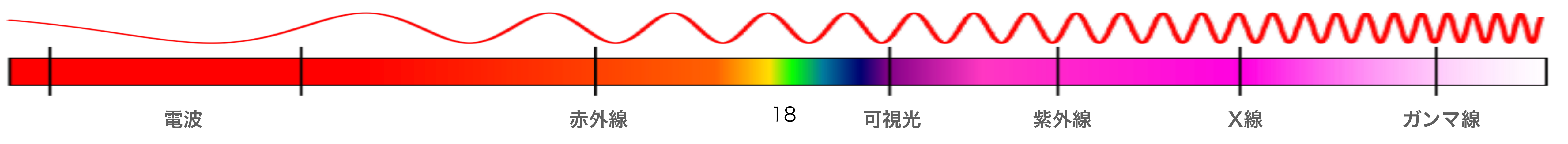
あかり衛星(赤外線): JAXA



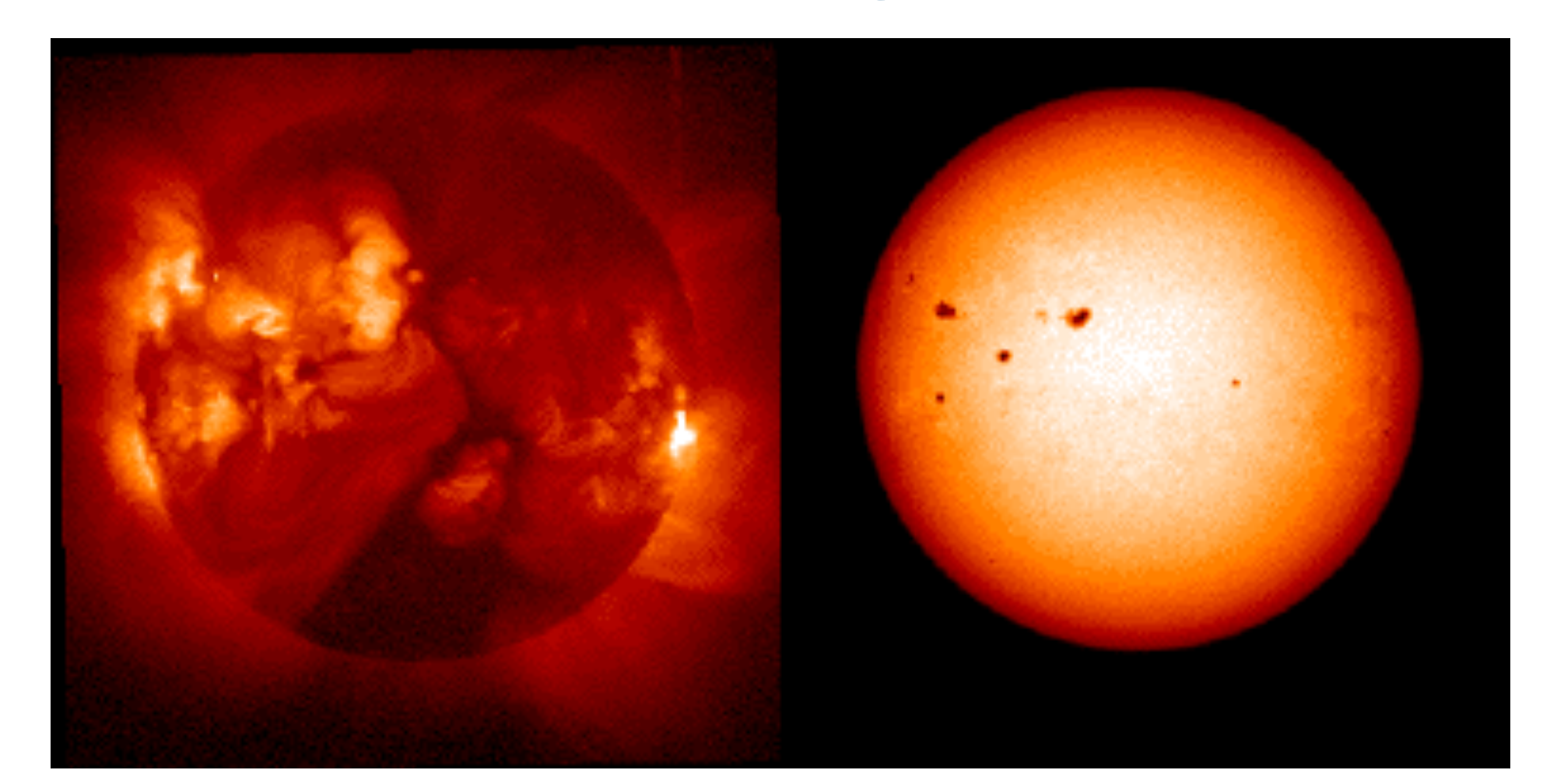
すばる望遠鏡(可視光): 国立天文台



すざく衛星(X線): JAXA



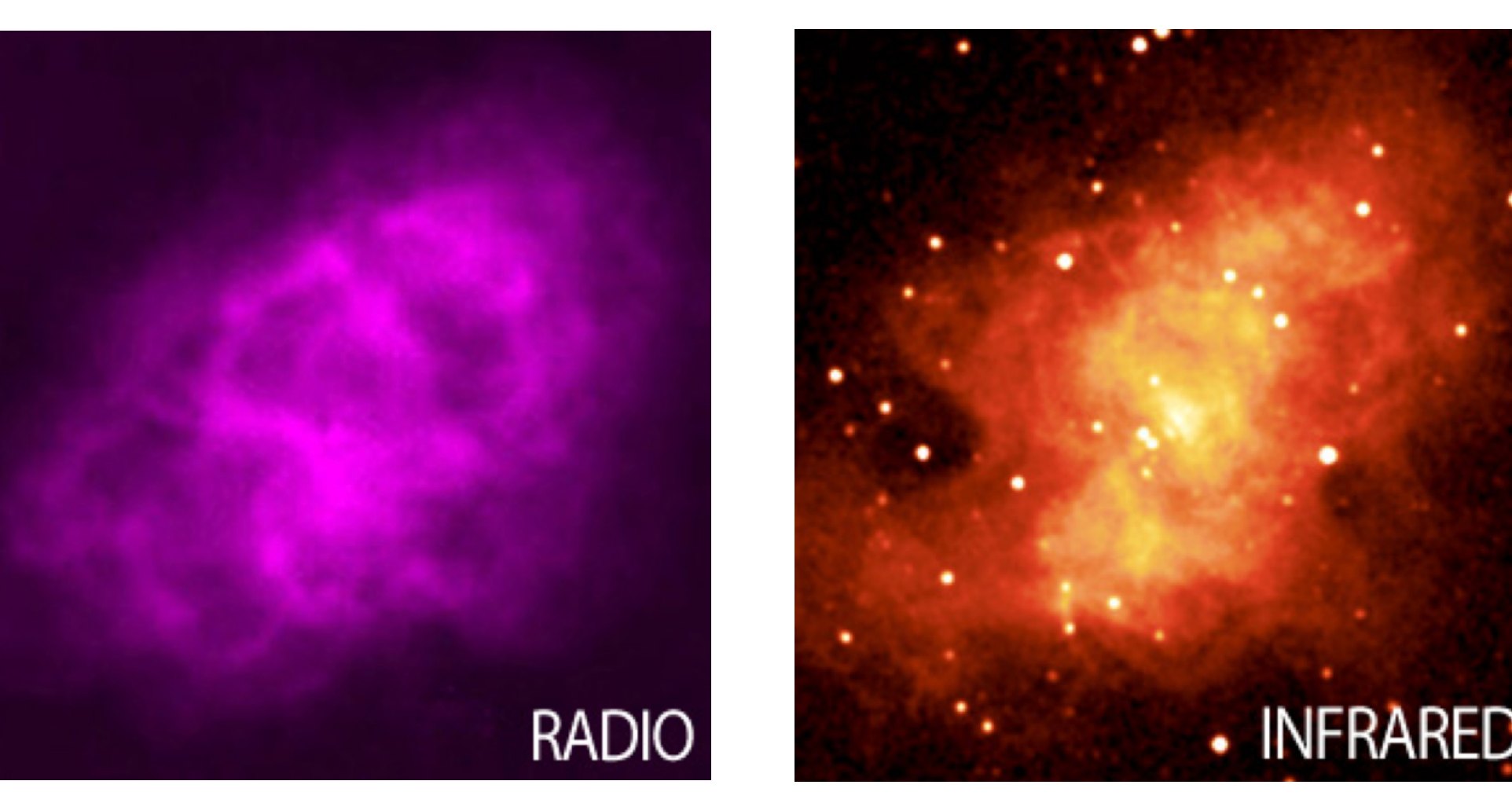
- ・現代天文学は、様々な波長での天体情報を総合して発展している
- · 多波長天文学(multi-wavelength astronomy)

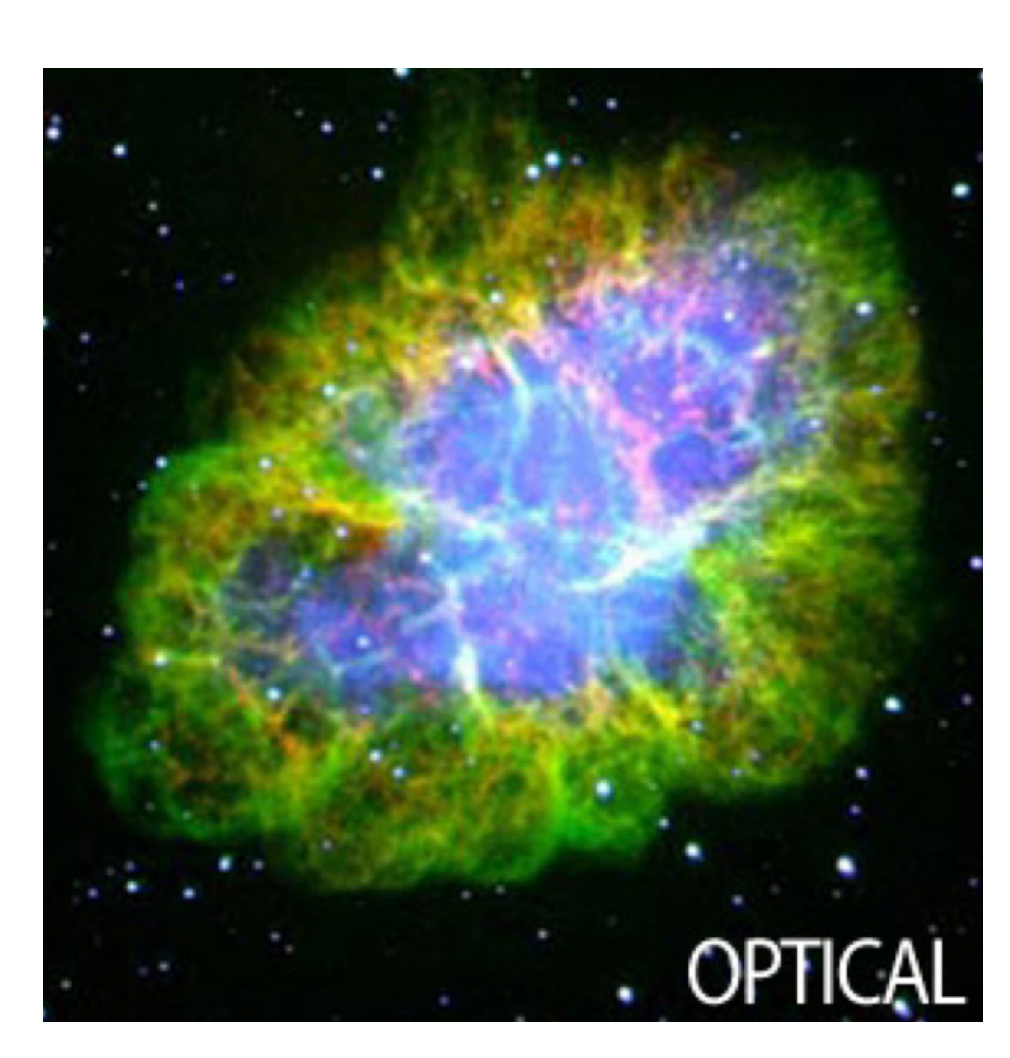


太陽のX線(左)と白色光(右)での姿 credit: Montana State Univ., Solar physics http://solar.physics.montana.edu

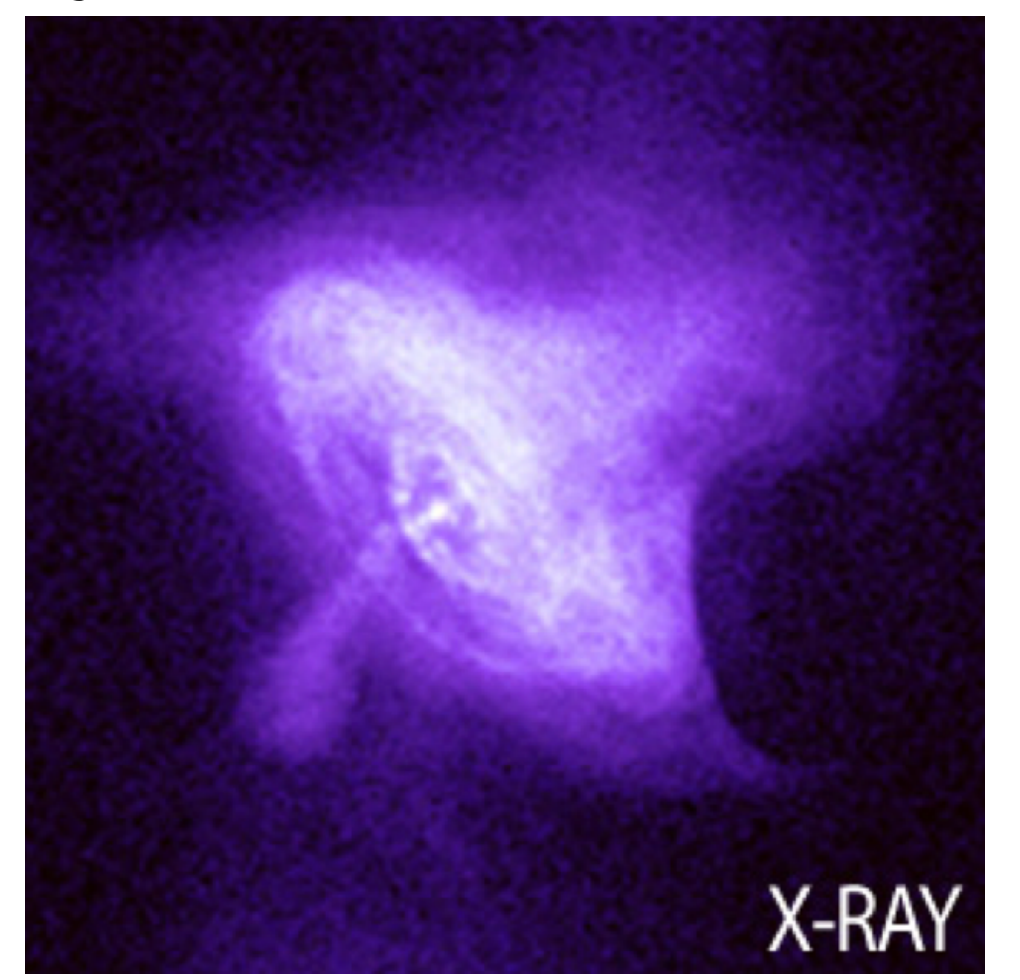
・現代天文学は、様々な波長での天体情報を総合して発展している

· 多波長天文学(multi-wavelength astronomy)



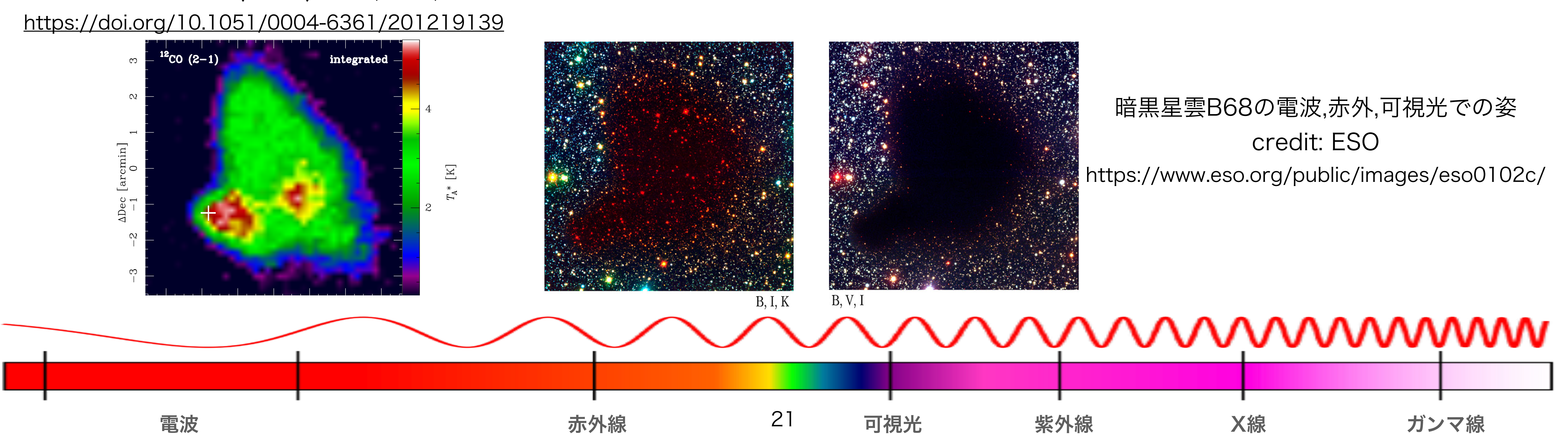


かに星雲の異なる波長での姿 credit: Chandra Education Data Analysis Software And Activities



- ・現代天文学は、様々な波長での天体情報を総合して発展している
- 多波長天文学(multi-wavelength astronomy)

M. Nielbock et al. (2012) A&A, 547, A11



電磁波以外の観測手段

- ・ニュートリノ(neutrino・ ν):弱い相互作用をする素粒子,第12回
- ・ 重力波(gravitational wave・GW): 時空のゆがみが伝搬する現象, 第13回
- · 宇宙線(cosmic-rays · CRs)
 - → マルチメッセンジャー天文学 (multi-messenger astronomy)

第2回:

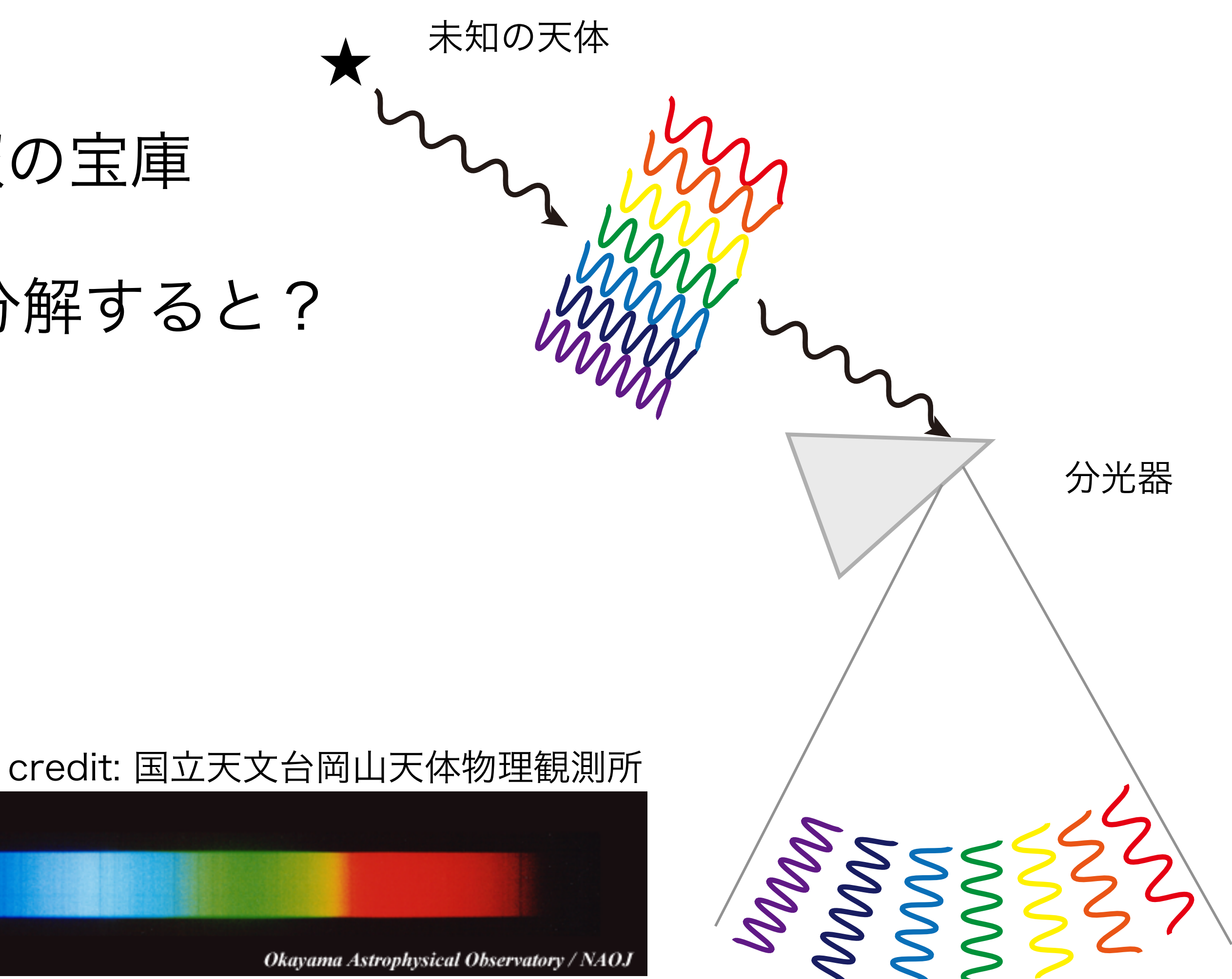
電磁波による宇宙の観測

- ・電磁波(可視赤外光・電波・X線ガンマ線)とその特徴
- 天体スペクトルと黒体放射
- ・原子・分子による吸収や輝線放射
- ・(光のドップラー効果)

天体は光る: 天体スペクトル

・天体からの光(電磁波)は情報の宝庫

・天体からの光をプリズムで分解すると?



天体は光る: 天体スペクトル

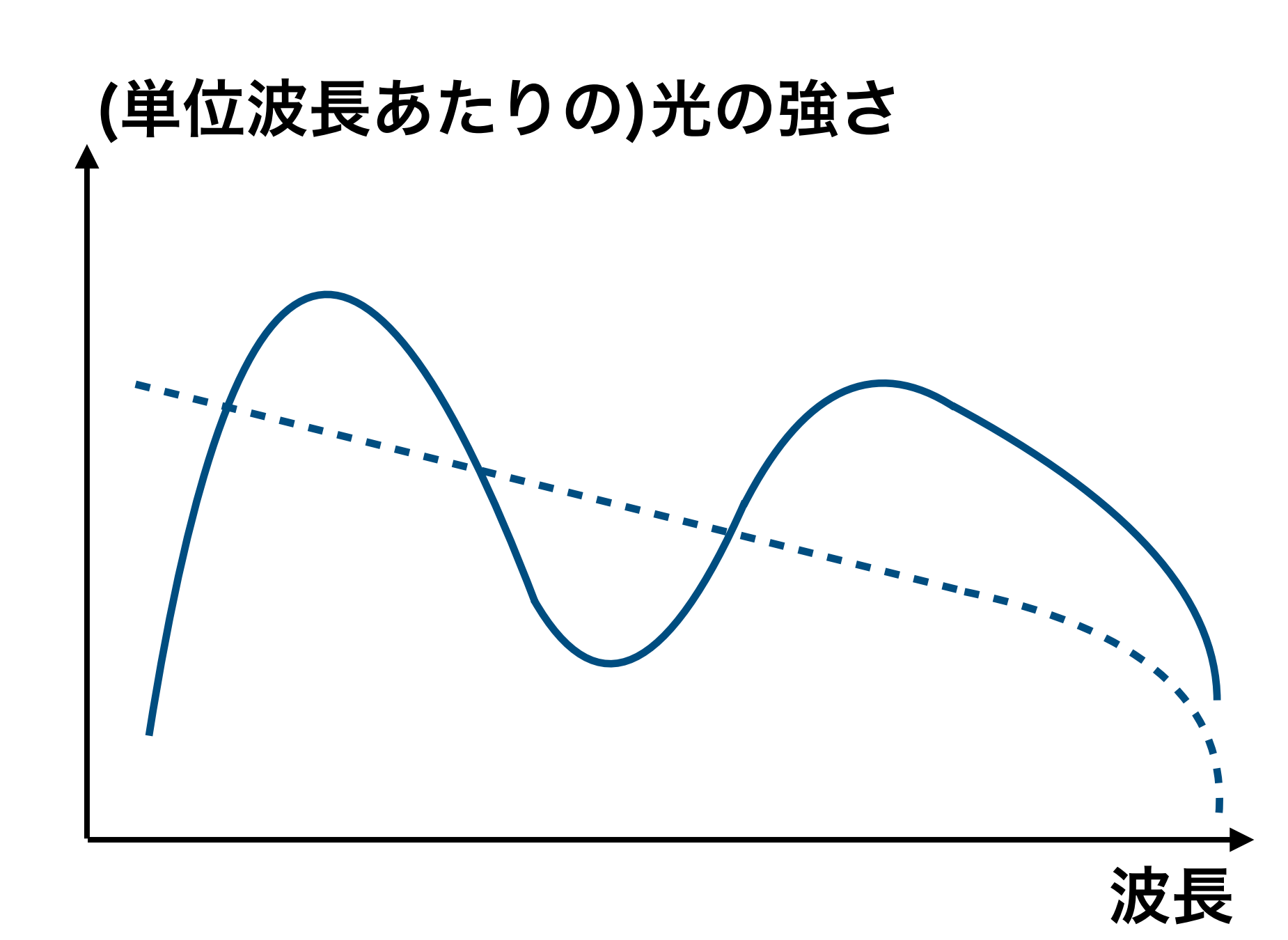
- ・天体からの光(電磁波)は情報の宝庫
- ・天体からの光をプリズムで分解すると?
- ・どの波長(周波数)の光が強いか?
 - \rightarrow スペクトル(spectrum) F_{λ} or F_{ν}
- ・天体ごとに特徴的なスペクトルを持つ
 - → 分類できないか?

分光観測(spectroscopy)

credit: 国立天文台岡山天体物理観測所
The Sun

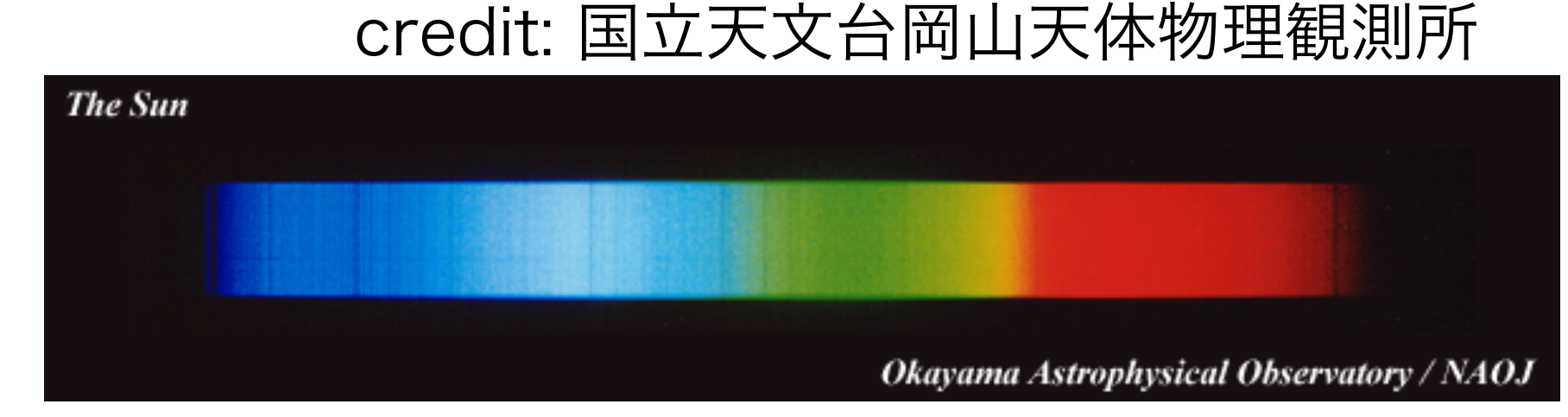


Okayama Astrophysical Observatory / NAOJ

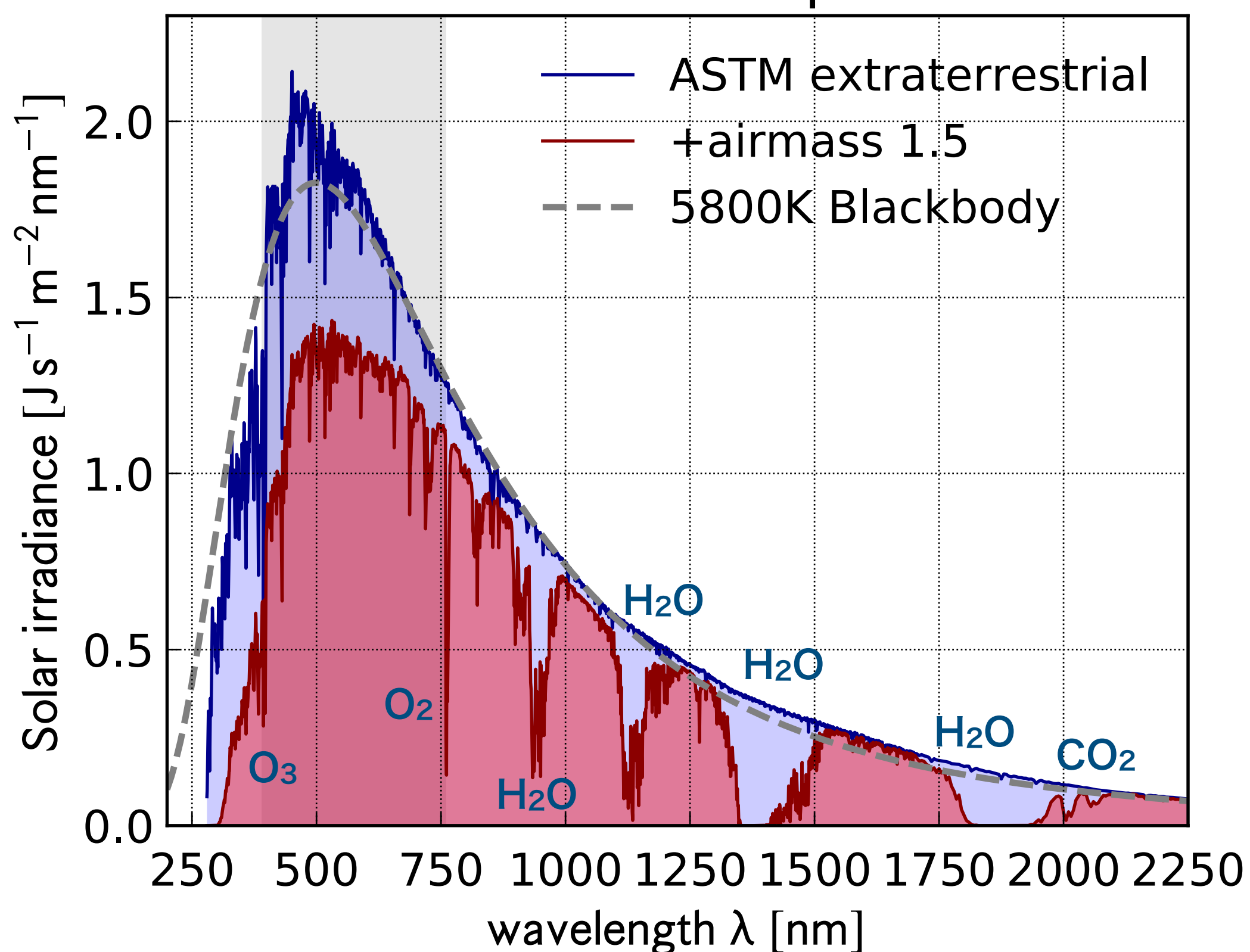


スペクトルの形はどうやって決まる?

- 例: 太陽のスペクトル
- ある波長にピークを持った形
- ・実は温度を反映している
- ・有限温度を持った(光学的に厚い)物体からの放射: **黒体放射(blackbody radiation)**
- そのスペクトルはプランク関数(Planck function)で表される







大気上空(青)と海抜0m(赤)での太陽スペクトル

あらゆる物体は光る: 黒体放射

 $T[K]=273.15+T[^{\circ}C]$

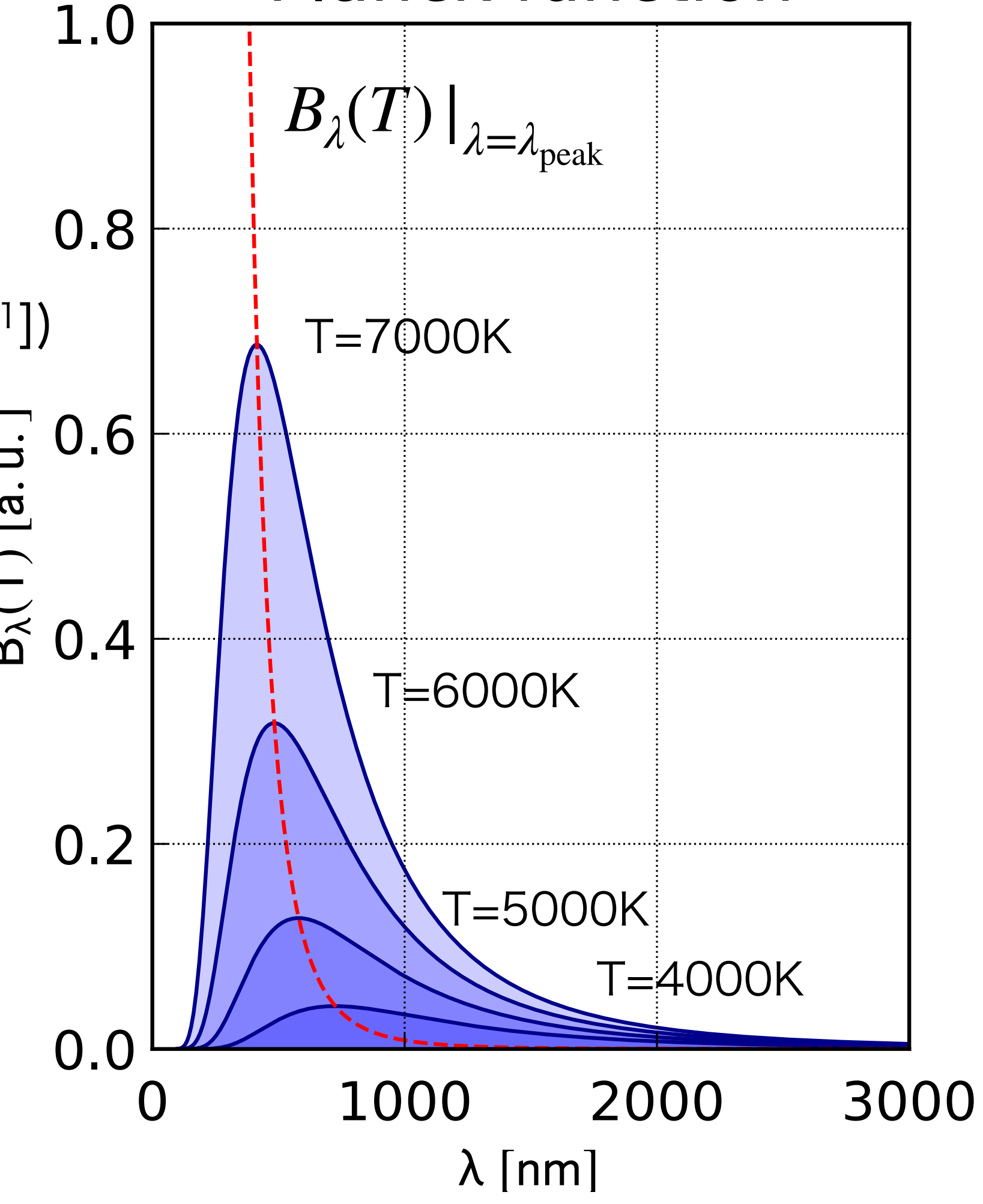
- ・温度T[K]の物体からの放射(量子統計力学)
- h: プランク定数(=6.62607x10⁻³⁴ [J s]) ・プランク関数の関数形: k_B: ボルツマン定数(=1.3806x10⁻²³ [J K⁻¹])

$$B_{\nu}(T) = \frac{2h\nu^3}{c^2} \frac{1}{e^{h\nu/k_{\rm B}T} - 1}$$

 $B_{\nu}(T) = \frac{2h\nu^3}{c^2} \frac{1}{\rho h\nu/k_{\rm B}T - 1}$ or $B_{\lambda}(T) = \frac{2hc^2}{\lambda^5} \frac{1}{\rho hc/(\lambda k_{\rm B}T) - 1}$ $\stackrel{\cdot}{=}$ 0.6

- ・温度のみの関数: ピークは温度が決める
- ・ウィーンの変位則(Wien's displacement law):

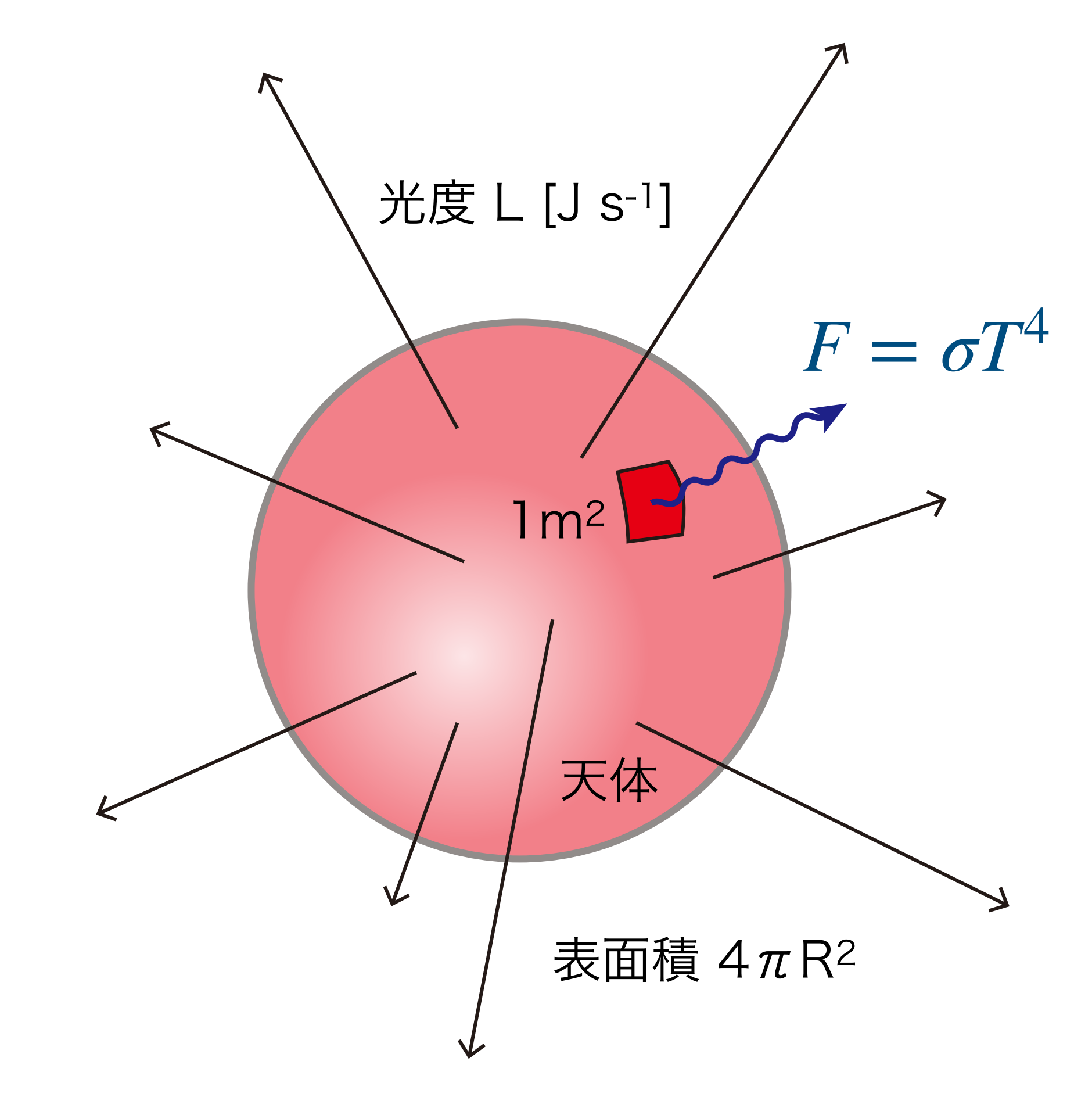
$$\lambda_{\text{peak}} = \frac{2.9 \times 10^6}{T[\text{K}]} \text{ [nm]}$$



Planck function

あらゆる物体は光る: 黒体放射

- ・温度を持った球体(半径R)から単位時間に出てくる放射エネルギー: 光度 $L[J\,s^{-1}]$
- ・表面積 $4\pi R^2$ [\mathbf{m}^2] \mathbf{x} 単位表面積あたりのエネルギー流量 $F[\mathbf{J}\,\mathbf{s}^{-1}\,\mathbf{m}^{-2}]$
- ・シュテファン=ボルツマンの法則(Stefan-Boltzmann's law): $F = \sigma T^4$
- . 定数 $\sigma = 5.670374419 \times 10^{-8} [\text{W m}^{-2} \text{K}^{-4}]$



・光度・温度・半径の関係:

$$L = 4\pi R^2 \sigma T^4$$

あらゆる物体は光る: 黒体放射

どのくらいのエネルギーが放射として出てきているか?

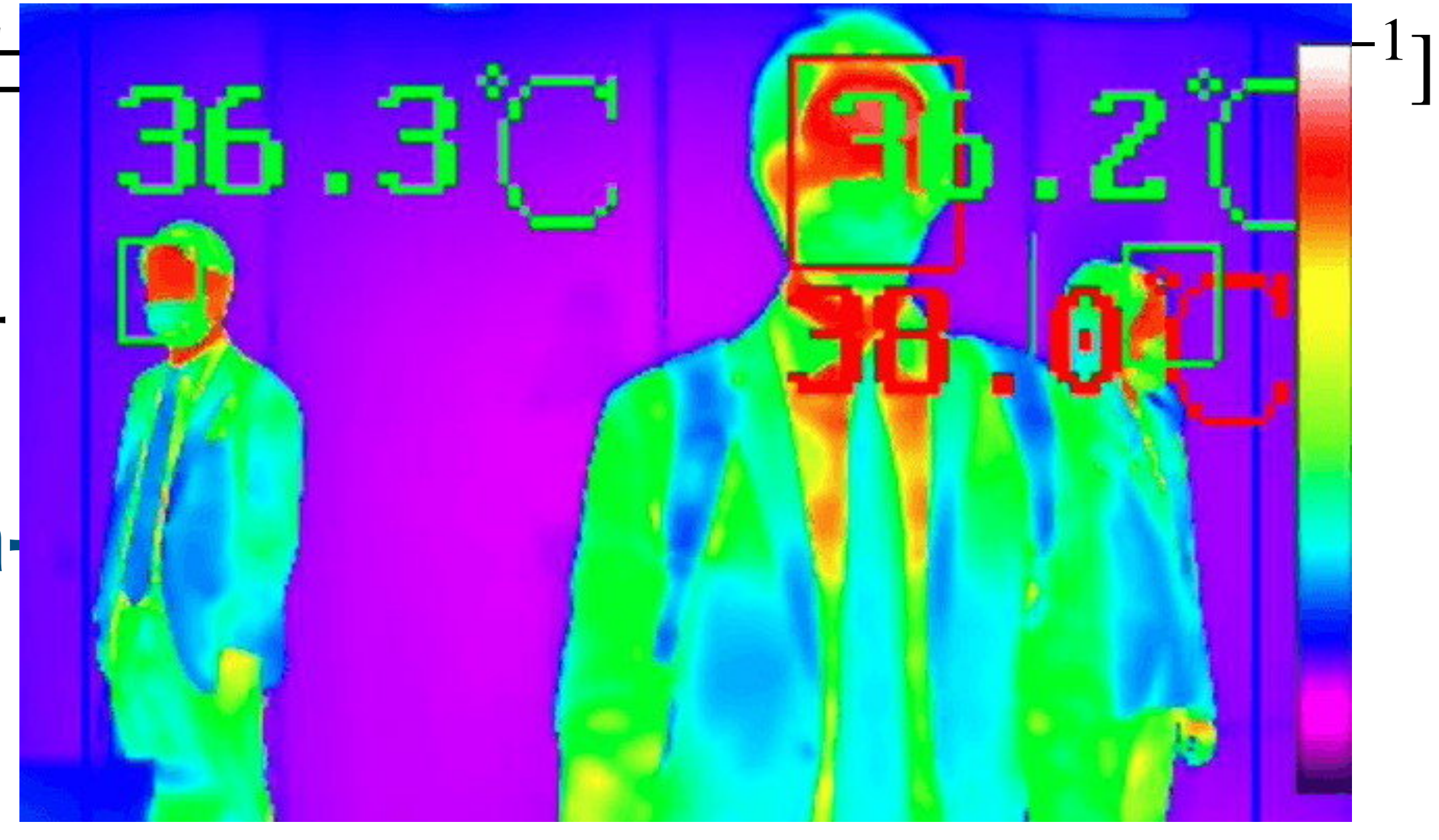
・温度を持っ

·表面積 $4\pi R^2$

・シュテファ

· 定数 $\sigma = 5.6$

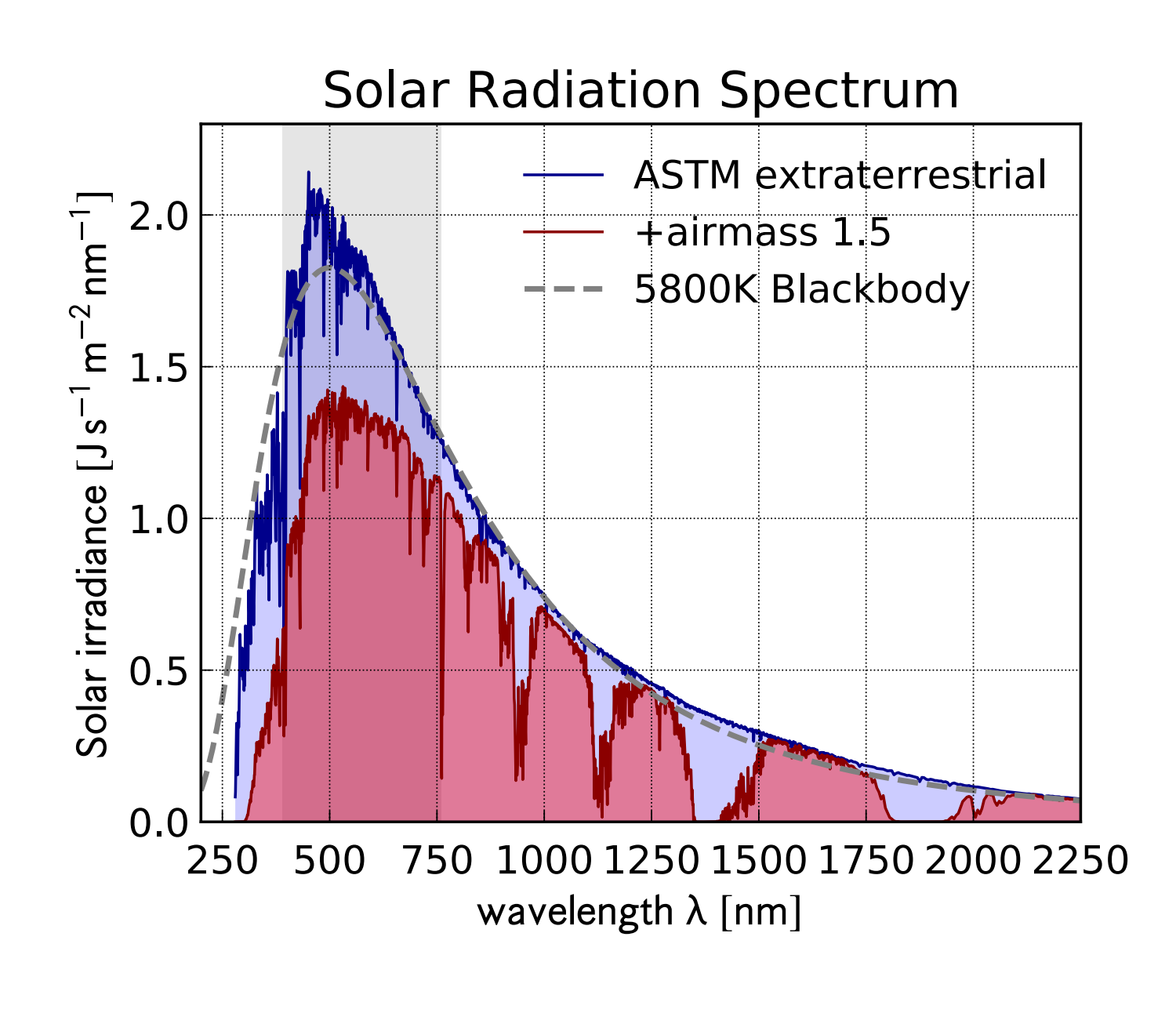




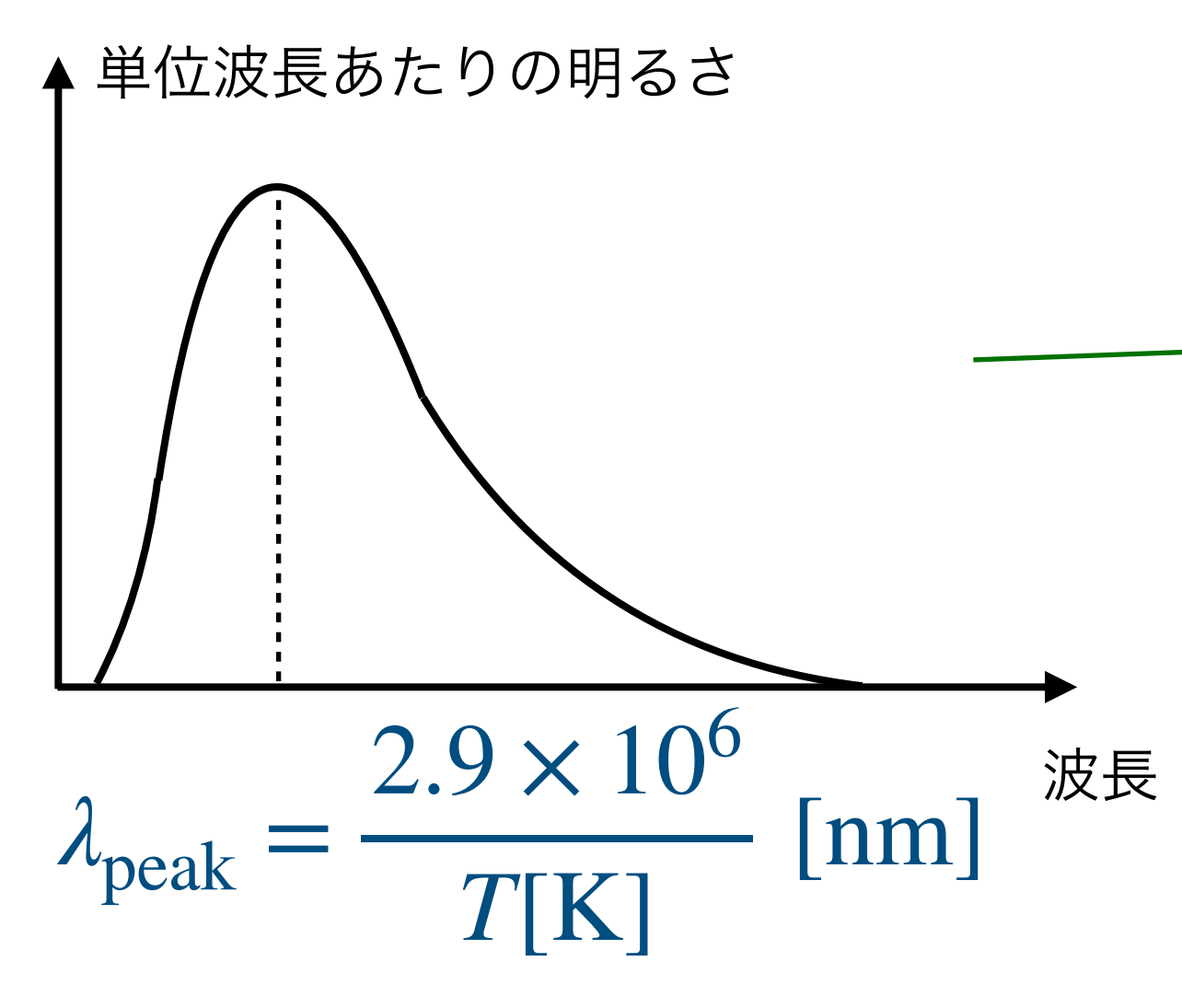
アイリスオーヤマ サーモカメラ

https://www.itmedia.co.jp/news/articles/2004/15/news082.html

星からの黒体放射まとめ



黒体放射スペクトル

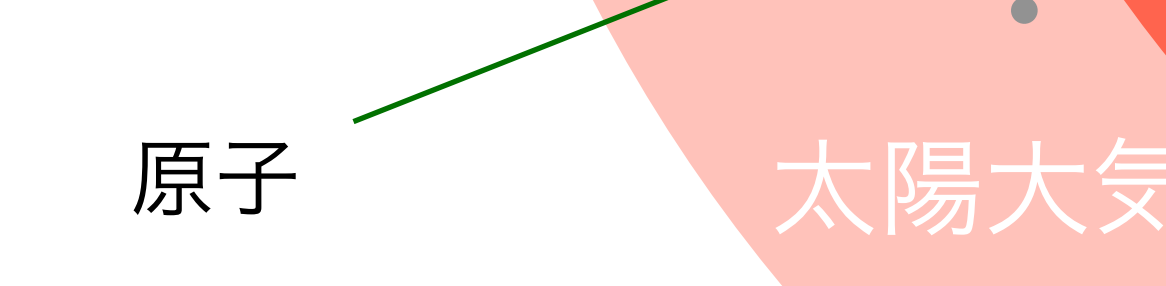


Wienの変位則

放射スペクトル: $B_{\lambda}(T) = \frac{2hc^2}{\lambda^5} \frac{1}{e^{h/(\lambda k_{\rm B}T)} - 1}$ PI

放射エネルギー流東: $F=\begin{bmatrix} B_{\lambda}(T)d\lambda d\Omega = \sigma T^4 \end{bmatrix}$ Stefan=Boltzmannの法則

光度: $L = 4\pi R^2 F = 4\pi R^2 \sigma T^4$



太陽

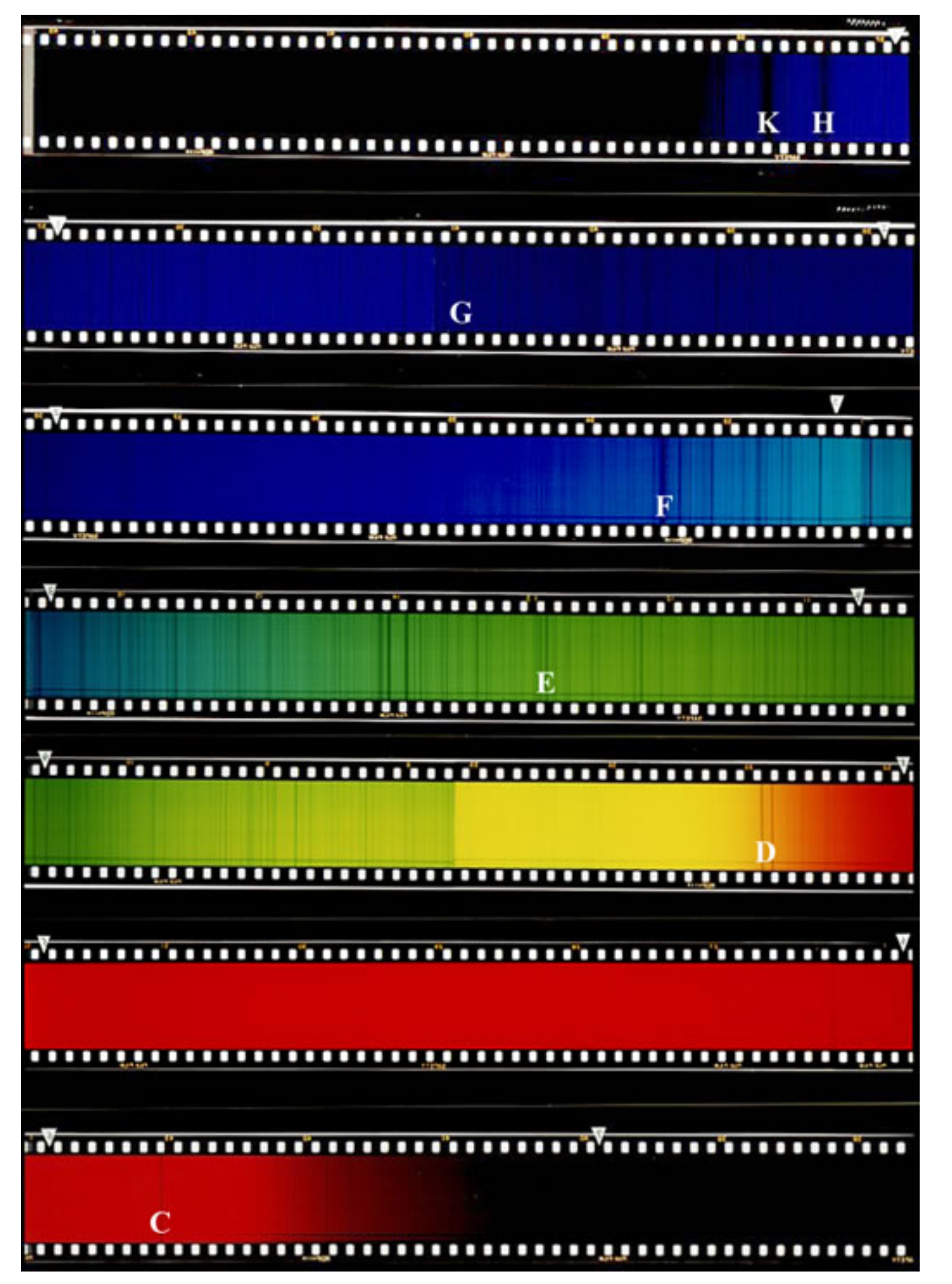
第2回:

電磁波による宇宙の観測

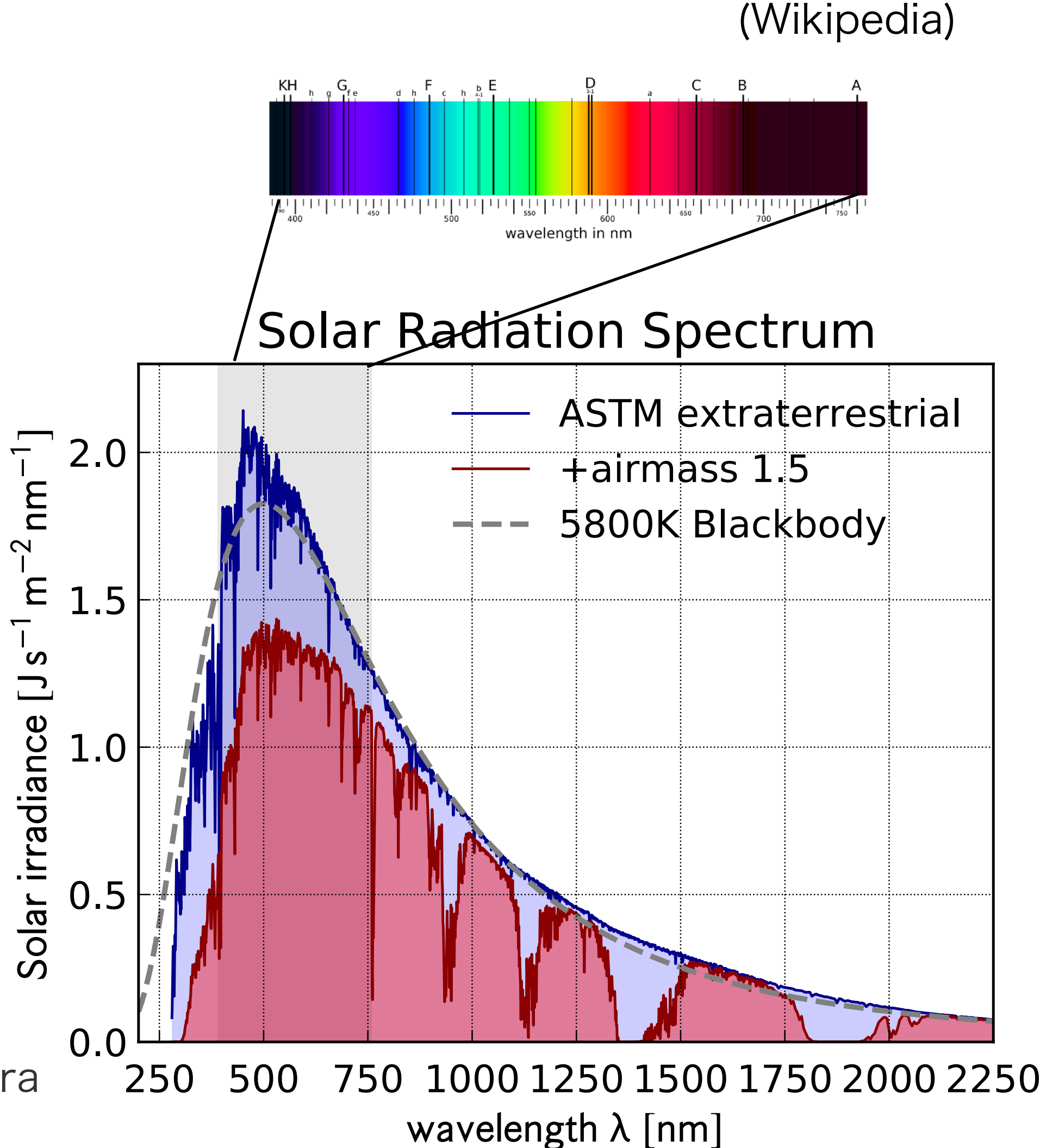
- ・電磁波(可視赤外光・電波・X線ガンマ線)とその特徴
- ・天体スペクトルと黒体放射
- ・原子・分子による吸収や輝線放射
- ・(光のドップラー効果)

- ・太陽の可視光スペクトルには暗い部分(暗線) が見える: その波長だけ光が弱い
- ・フラウンホーファー線(Fraunhofer lines)
- ・太陽大気に含まれる原子(Na,Ca,...) + 地球 大気に含まれる分子が特定の波長の光を吸 収する

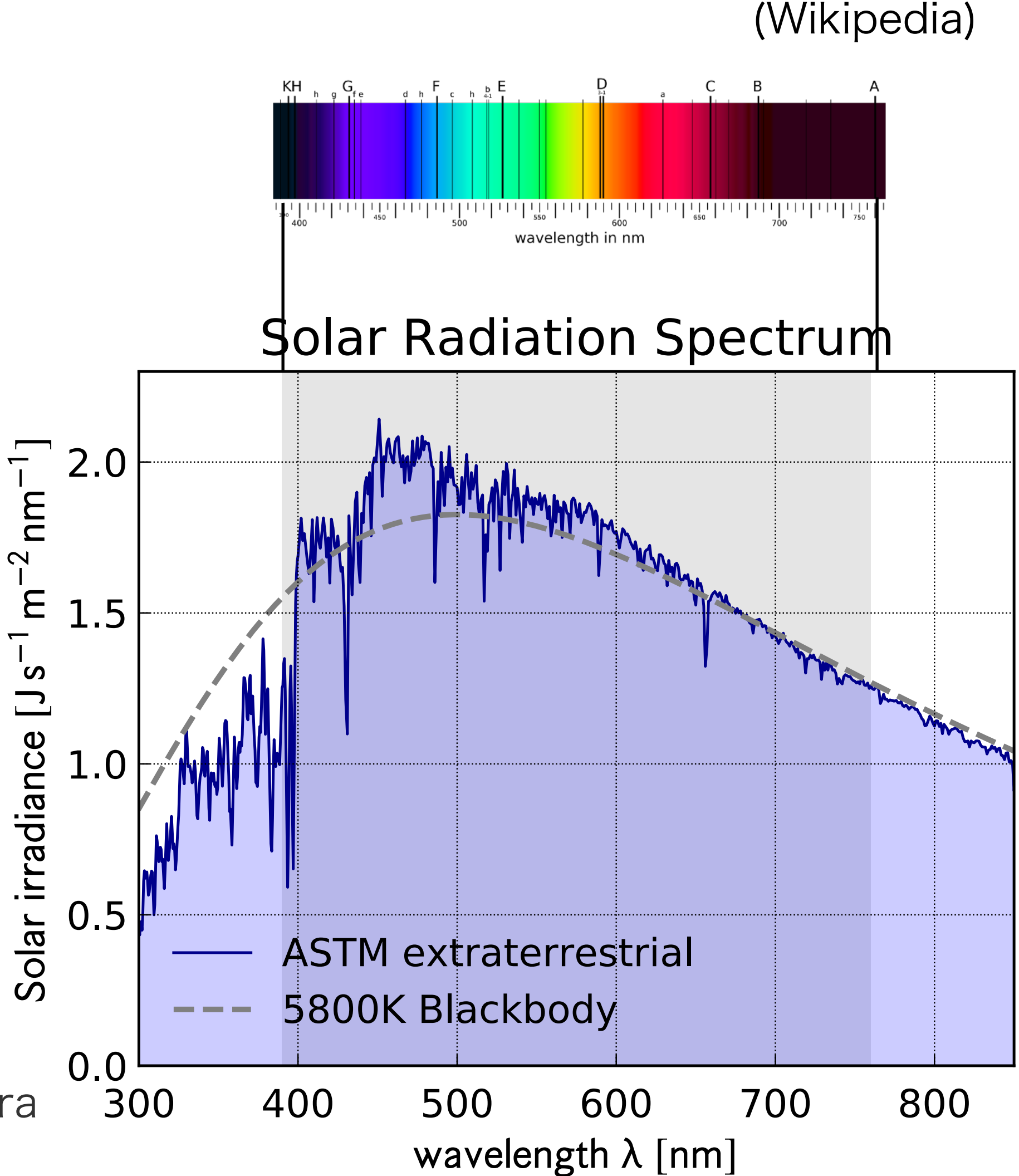
credit: 国立天文台乗鞍観測所



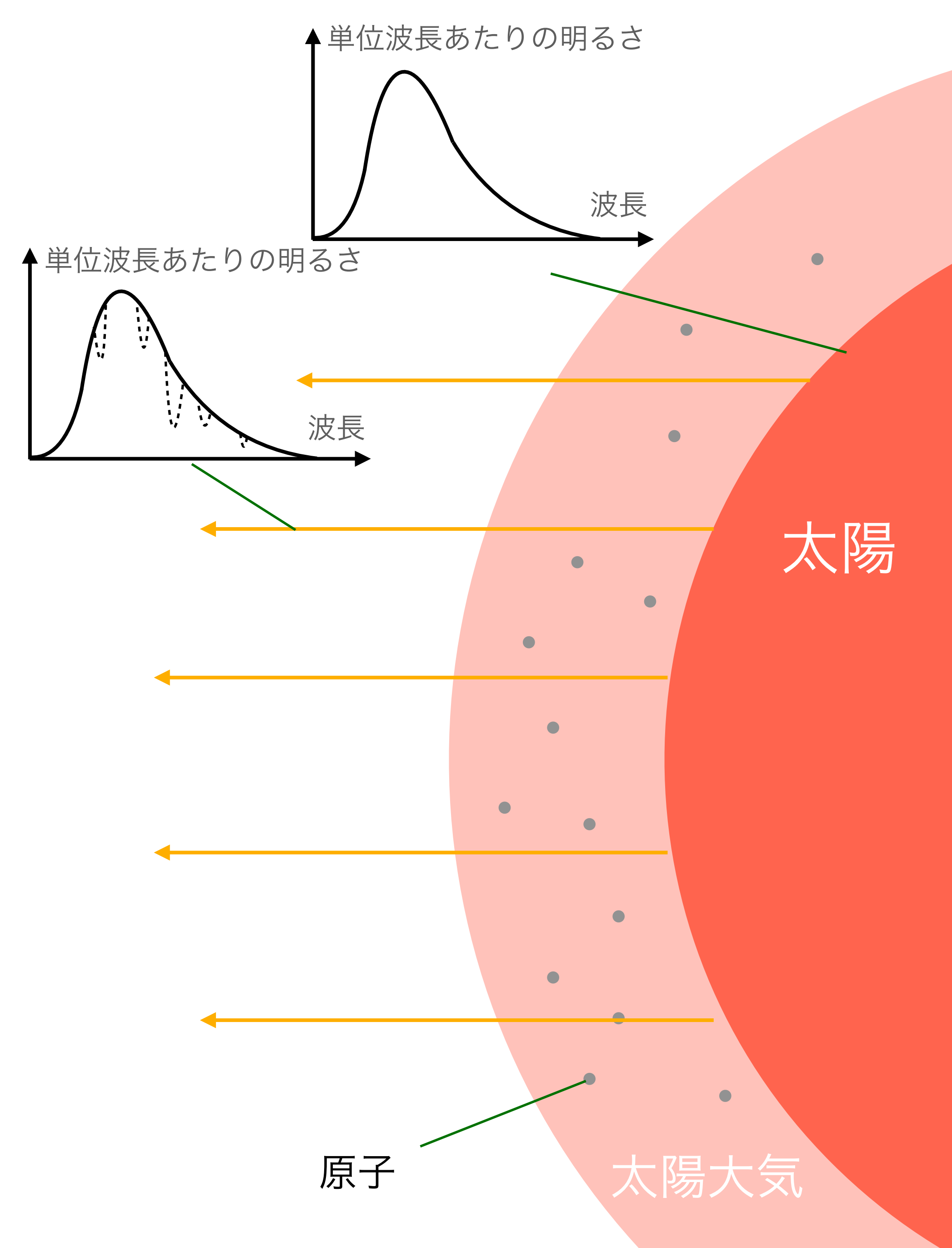
- ・太陽の可視光スペクトルには暗い部分(暗線) が見える: その波長だけ光が弱い
- ・フラウンホーファー線(Fraunhofer lines)
- ・太陽大気に含まれる原子(Na,Ca,...) + 地球 大気に含まれる分子が特定の波長の光を吸 収する



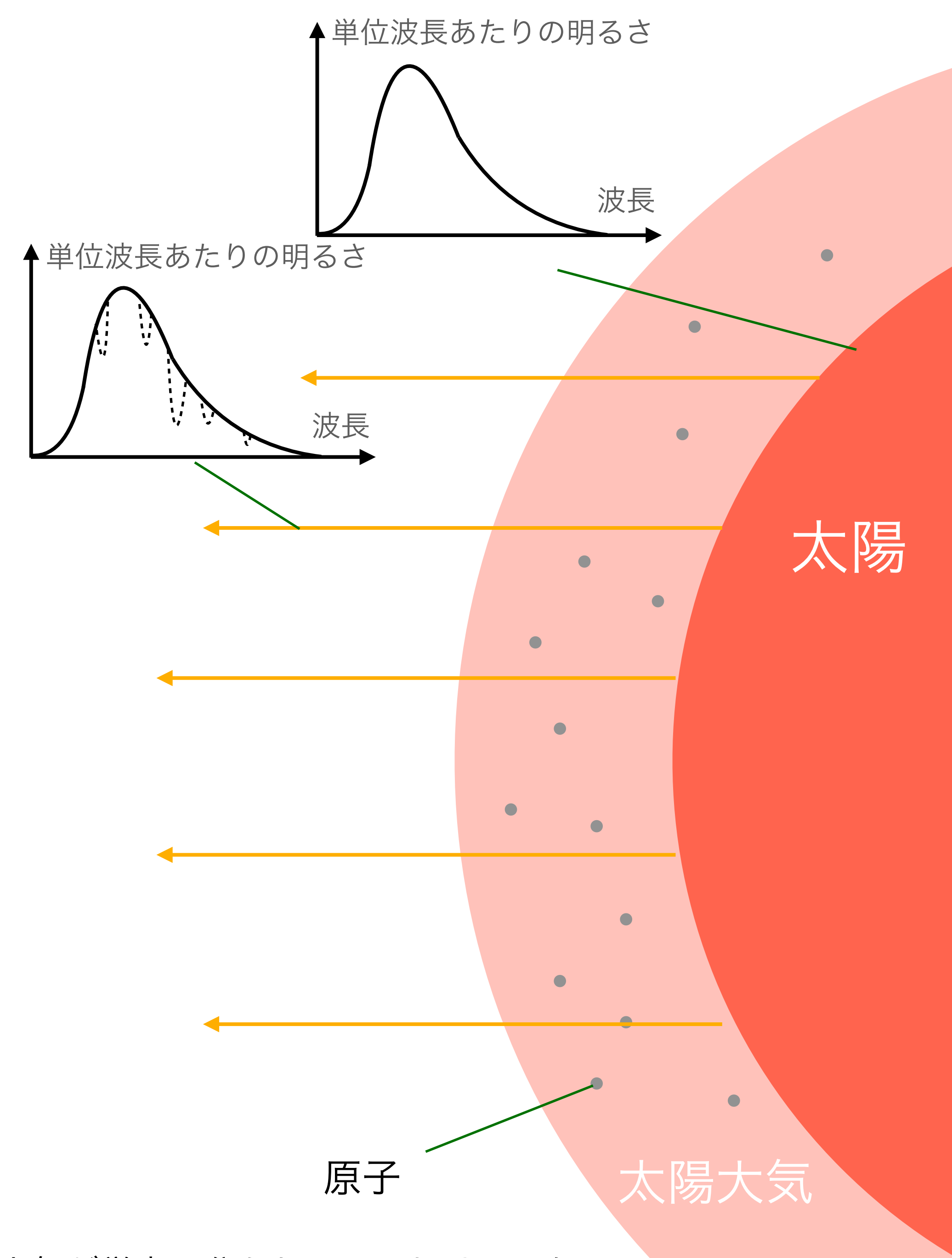
- ・太陽の可視光スペクトルには暗い部分(暗線) が見える: その波長だけ光が弱い
- ・フラウンホーファー線(Fraunhofer lines)
- ・太陽大気に含まれる原子(Na,Ca,...) + 地球 大気に含まれる分子が特定の波長の光を吸 収する



- ・太陽の可視光スペクトルには暗い部分(暗線) が見える: その波長だけ光が弱い
- ・フラウンホーファー線(Fraunhofer lines)
- ・太陽大気に含まれる原子(Na,Ca,...) + 地球 大気に含まれる分子が特定の波長の光を吸 収する



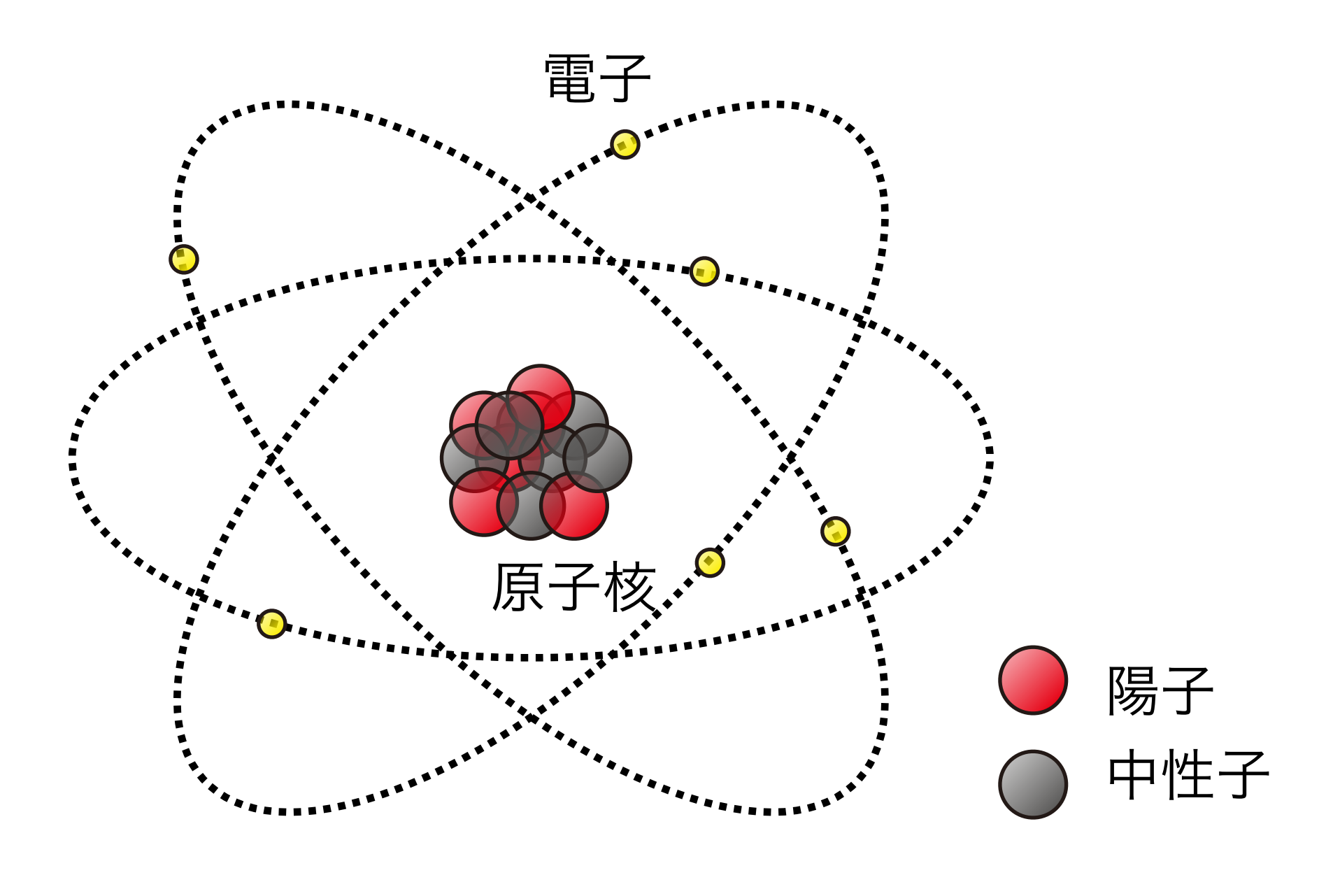
- ・太陽の可視光スペクトルには暗い部分(暗線) が見える: その波長だけ光が弱い
- ・フラウンホーファー線(Fraunhofer lines)
- ・太陽大気に含まれる原子(Na,Ca,...) + 地球 大気に含まれる分子が**特定の波長の光を吸 収する**
- ・特定の吸収線が見つかると星の成分が分かる (地球大気吸収を除く)



吸収・放射の物理過程

- ・原子・分子の構造
- ・電子は軌道に応じたエネルギーを持っている(エネルギー準位)
- ・軌道遷移に伴って光子を放出・吸収

原子の構造の模式図



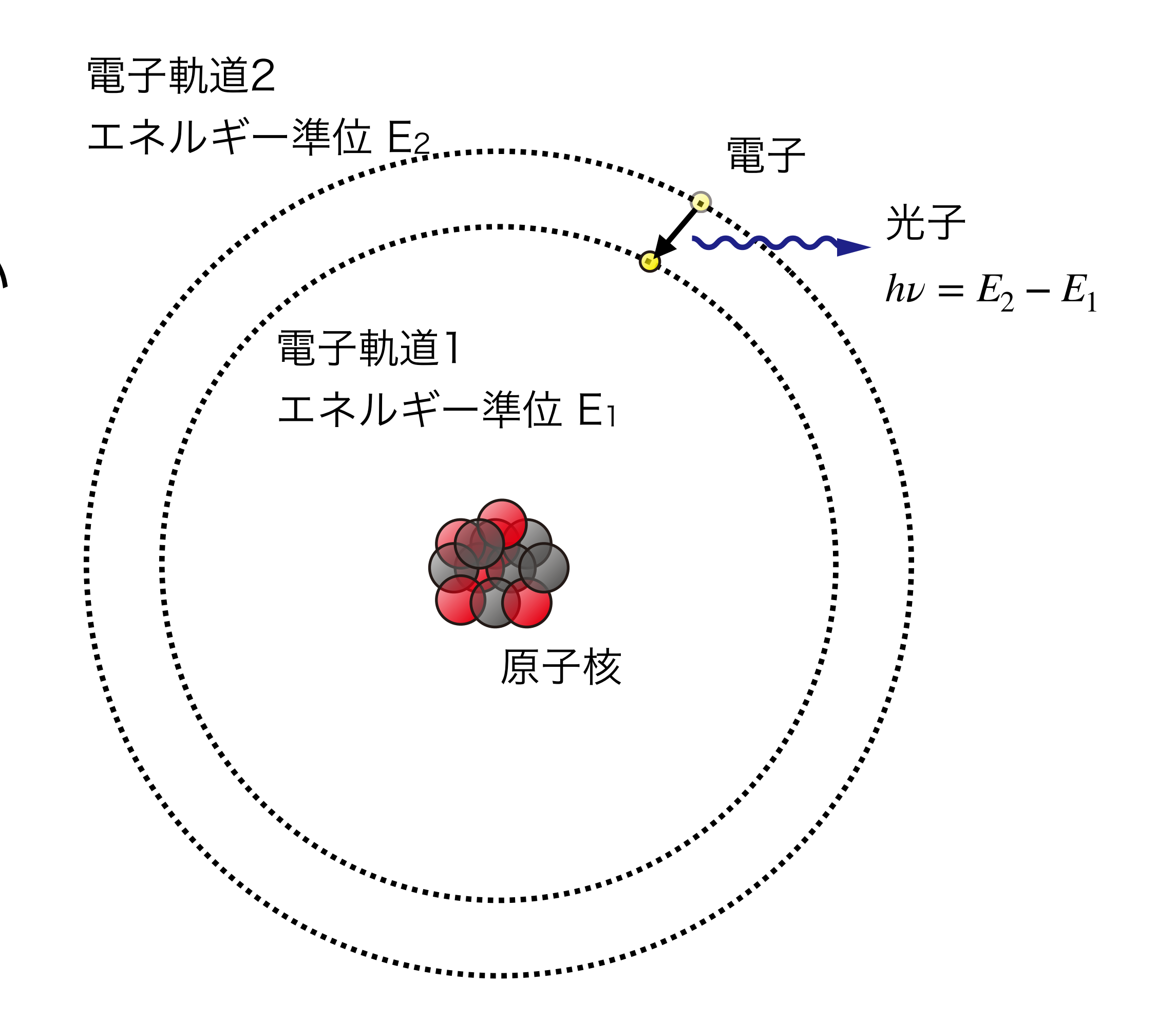
原子 = 原子核(陽子,中性子) + 電子

陽子の数の違い → 元素 中性子の数の違い → 同位体

吸収・放射の物理過程

- ・原子・分子の構造
- 電子は軌道に応じたエネルギーを持っている(エネルギー準位)
- ・軌道遷移に伴って光子を放出・吸収

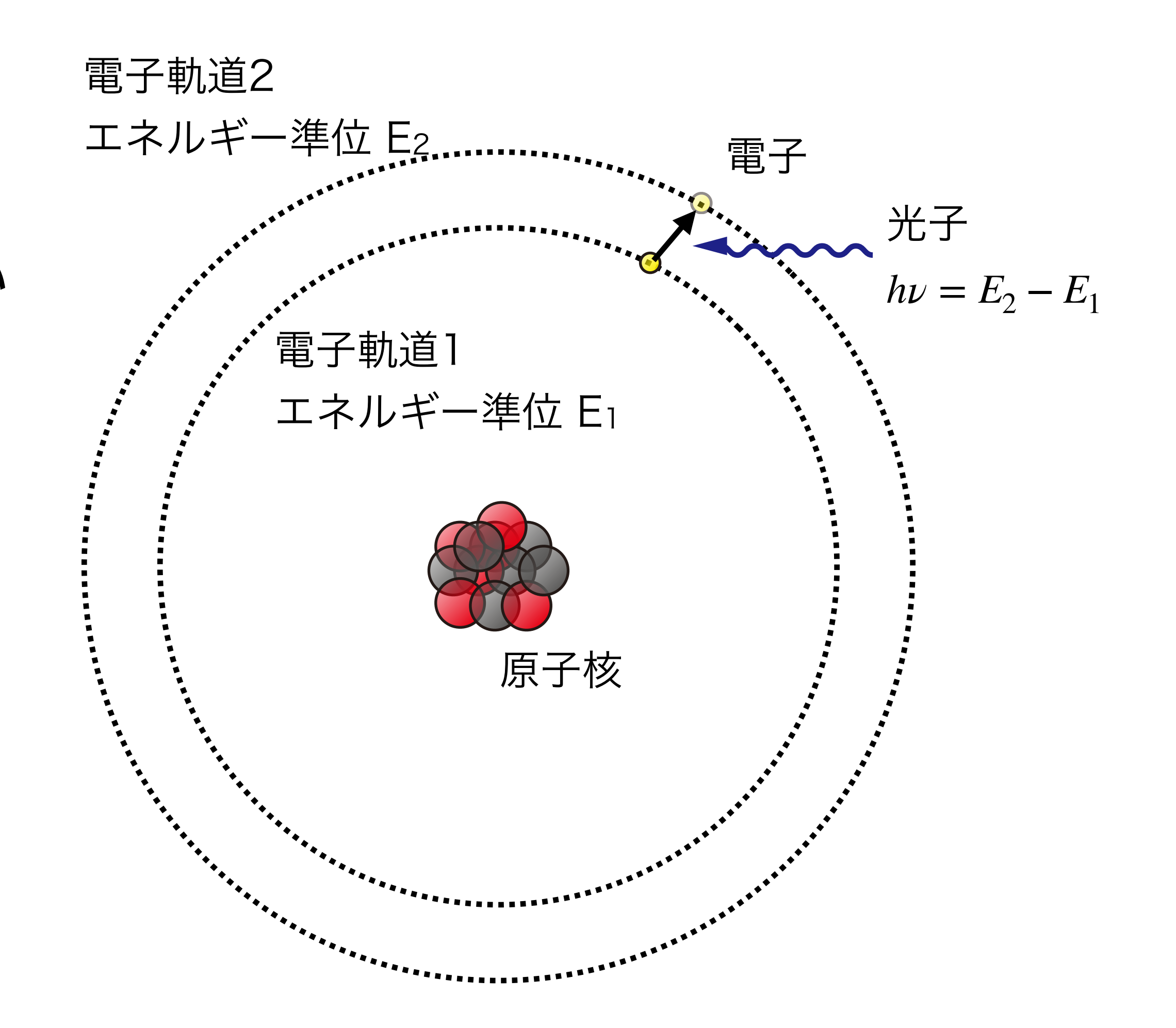
原子の電子軌道の模式図



吸収・放射の物理過程

- ・原子・分子の構造
- 電子は軌道に応じたエネルギーを持っている(エネルギー準位)
- ・軌道遷移に伴って光子を放出・吸収

原子の電子軌道の模式図



太陽の化学組成

- ・ フラウンホーファー線による元素の同定
- 太陽大気のモデリングと組み合わせて、どの元素がどのくらい含まれるかを推定する
- ・太陽表面(光球)の組成
- ・水素、次いでヘリウムが圧倒的に多い
- ・実は宇宙の始まりにできるのが水素とヘリウム(+微量の軽元素)

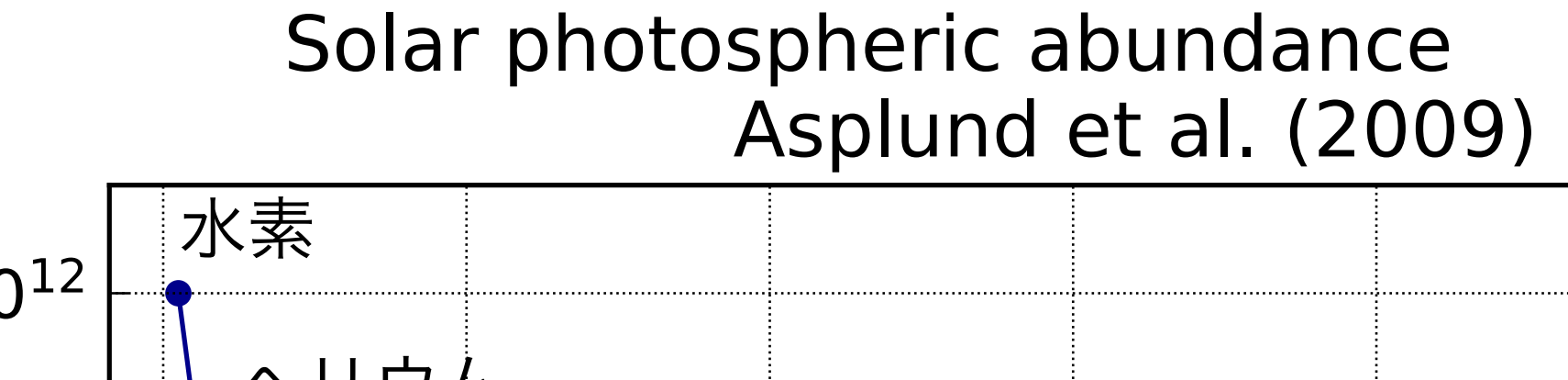
太陽表面(光球: photosphere) での化学組成(Asplund et al. 2009)

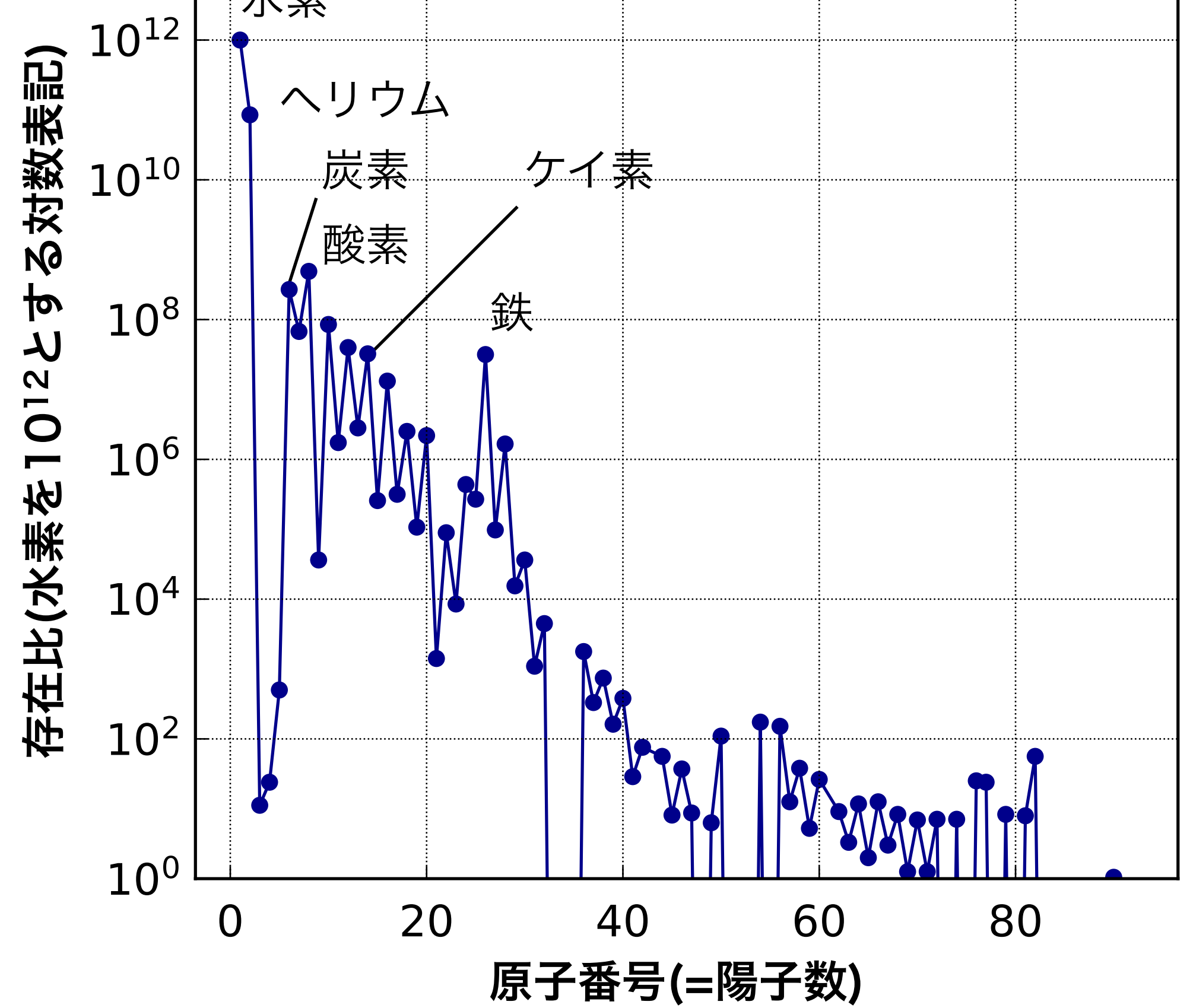
Z	Element	Photosphere	Meteorites
1	Н	12.00	8.22 ± 0.04
2	Не	$[10.93 \pm 0.01]$	1.29
3	Li	1.05 ± 0.10	3.26 ± 0.05
4	Be	1.38 ± 0.09	1.30 ± 0.03
5	В	2.70 ± 0.20	2.79 ± 0.04
6	С	8.43 ± 0.05	7.39 ± 0.04
7	N	7.83 ± 0.05	6.26 ± 0.06
8	O	8.69 ± 0.05	8.40 ± 0.04
9	F	4.56 ± 0.30	4.42 ± 0.06
10	Ne	$[7.93 \pm 0.10]$	-1.12
11	Na	6.24 ± 0.04	6.27 ± 0.02
12	Mg	7.60 ± 0.04	7.53 ± 0.01
13	Al	6.45 ± 0.03	6.43 ± 0.01
14	Si	7.51 ± 0.03	7.51 ± 0.01
15	P	5.41 ± 0.03	5.43 ± 0.04
16	S	7.12 ± 0.03	7.15 ± 0.02
17	Cl	5.50 ± 0.30	5.23 ± 0.06
18	Ar	$[6.40 \pm 0.13]$	-0.50
19	K	5.03 ± 0.09	5.08 ± 0.02
20	Ca	6.34 ± 0.04	6.29 ± 0.02
21	Sc	3.15 ± 0.04	3.05 ± 0.02
22	Ti	4.95 ± 0.05	4.91 ± 0.03
23	V	3.93 ± 0.08	3.96 ± 0.02
24	Cr	5.64 ± 0.04	5.64 ± 0.01
25	Mn	5.43 ± 0.04	5.48 ± 0.01
26	Fe	7.50 ± 0.04	7.45 ± 0.01
	·	•	·

太陽の化学組成

太陽表面(光球: photosphere) での化学組成(Asplund et al. 2009)

- ・ フラウンホーファー線による元素の同定
- 太陽大気のモデリングと組み合わせて、どの元素がどのくらい含まれるかを推定する
- ・太陽表面(光球)の組成
- ・水素、次いでヘリウムが圧倒的に多い
- ・実は宇宙の始まりにできるのが水素とヘリウム(+微量の軽元素)

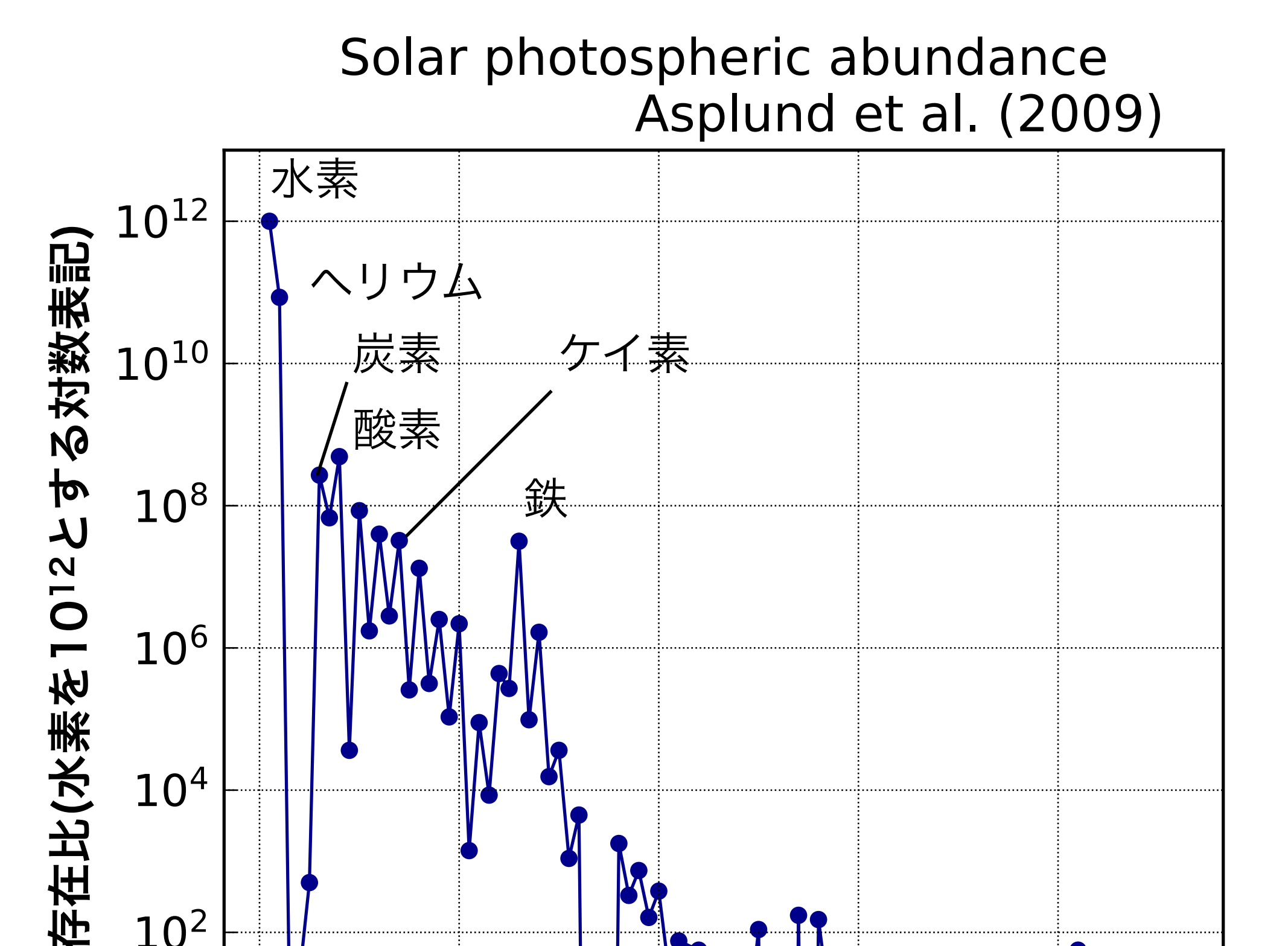




太陽の化学組成

太陽表面(光球: photosphere) での化学組成(Asplund et al. 2009)

- フラウンホーファー線による元素の同定
- ・太陽大気のモデリングと組み合わせて、ど の元素がどのくらい含まれるかを推定する
- ・太陽表面(光球)の組成
- ・水素、次いでヘリウムが圧倒的に多い
- 実は宇宙の始まりにできるのが水素とヘリ ウム(+微量の軽元素)



40

原子番号(=陽子数)

60

80

10⁴

10²

10⁰

0

20

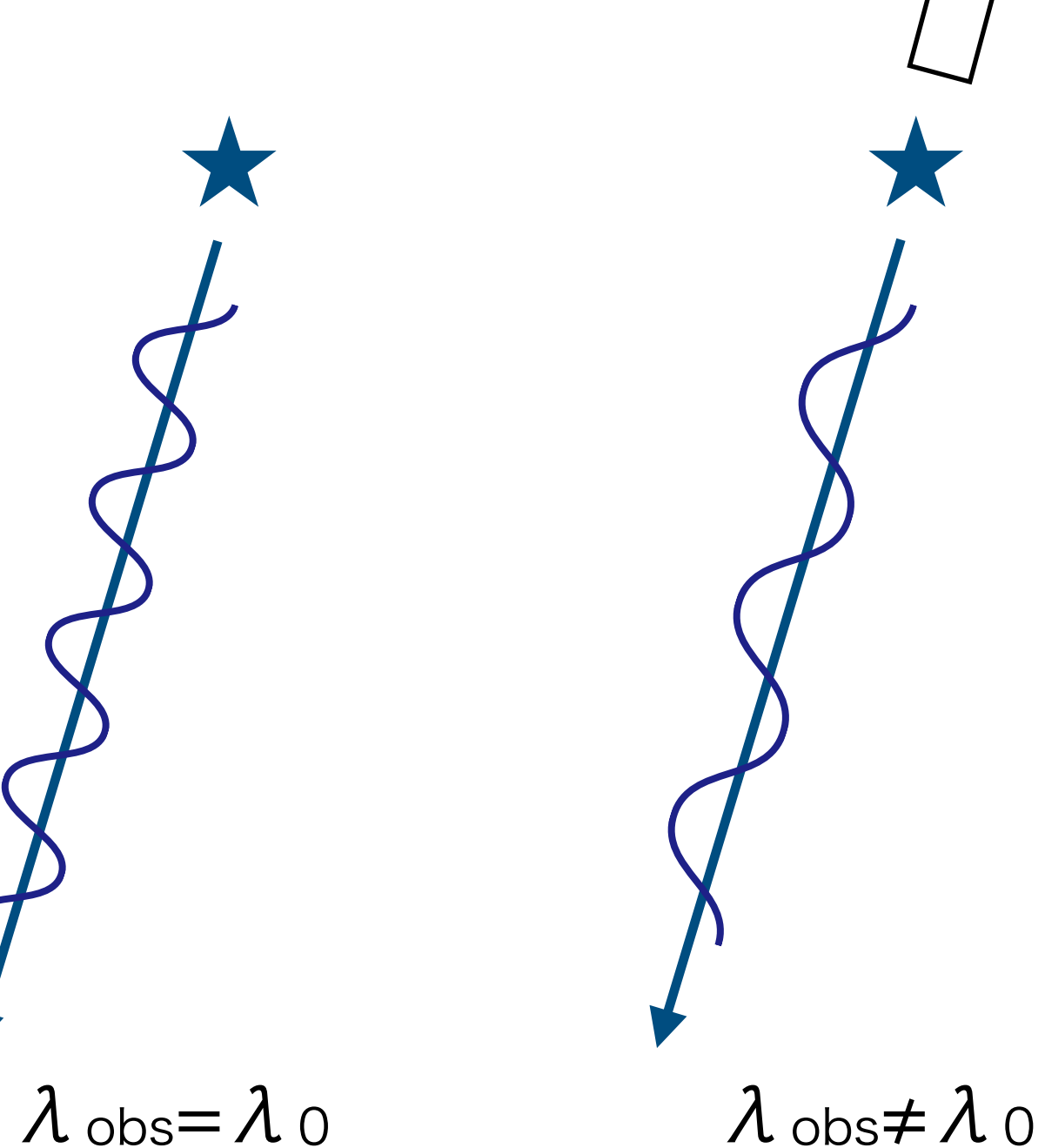
第2回:

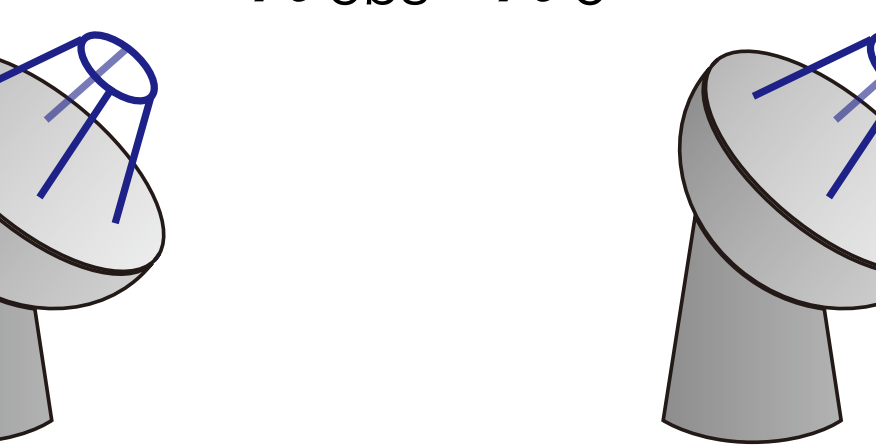
電磁波による宇宙の観測

- ・電磁波(可視赤外光・電波・X線ガンマ線)とその特徴
- ・ 天体スペクトルと黒体放射
- ・原子・分子による吸収や輝線放射
- ・光のドップラー効果

- 動いているものからの電磁波の波長が 動いていないものに対してずれる効果
- ・天体の(視線方向に沿った)運動を知る 上で重要な役割を果たす (非相対論極限: $v_{los} \ll c = 3 \times 10^8 \text{m/s}$)
- ずれの程度: $\lambda_{\text{obs}} = \left(1 + \frac{v_{\text{los}}}{c}\right)\lambda = \lambda + \frac{v_{\text{los}}}{c}\lambda$
- ・光の速度がどの慣性系でも変わらない ことによって起こる(特殊相対性理論)

視線方向速度Vios (los=line of sight)

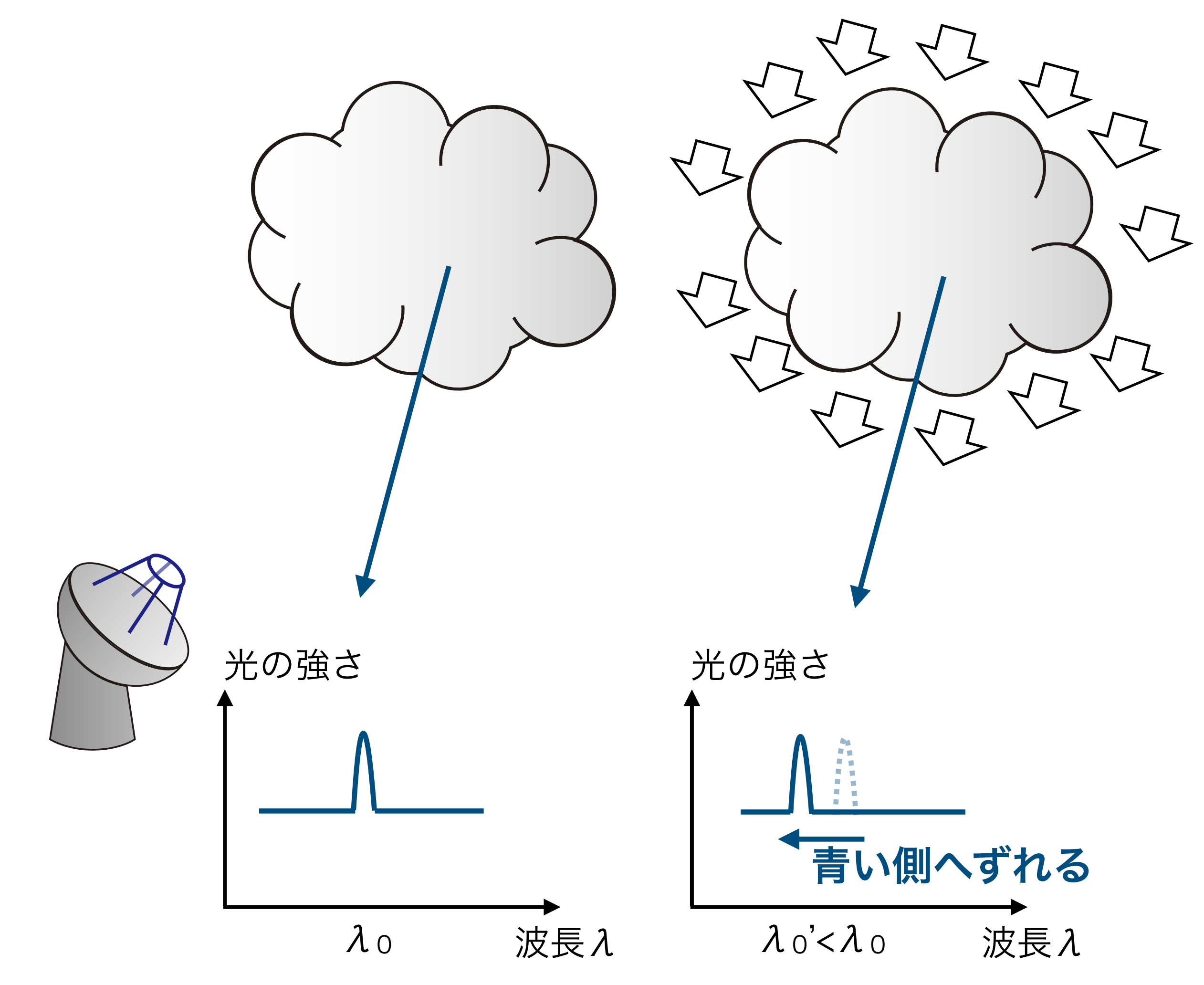




- 動いているものからの電磁波の波長が 動いていないものに対してずれる効果
- ・天体の(視線方向に沿った)運動を知る 上で重要な役割を果たす
- 観測者へ<u>向かってくる</u>光源・吸収源の 波長は短くなる(青方偏移: blueshift)
- 観測者から<u>遠ざかる</u>光源・吸収源の波 長は<u>長くなる(赤方偏移: redshift)</u>

観測者に対して 静止した放射源

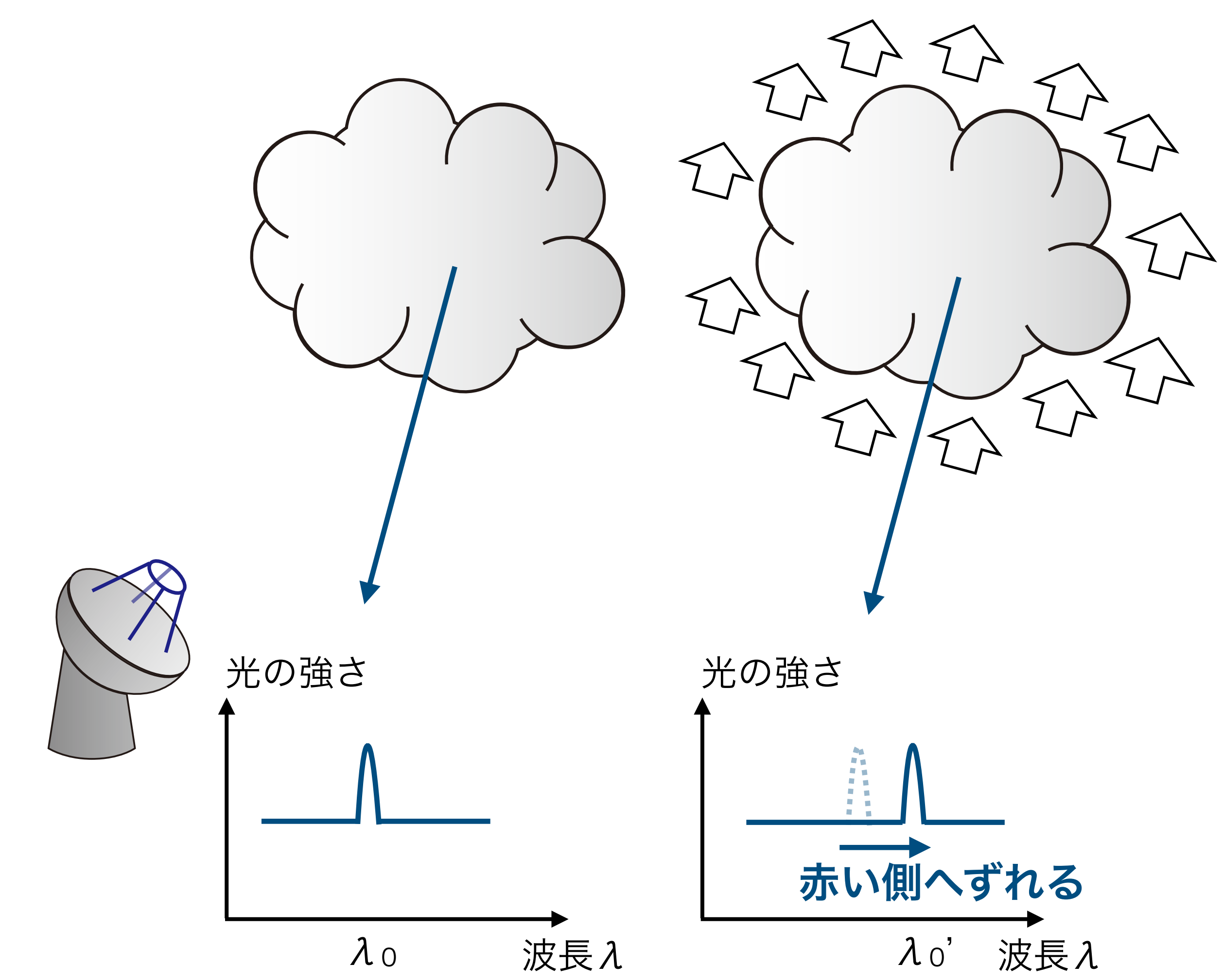
観測者の方へ 向かってくる放射源



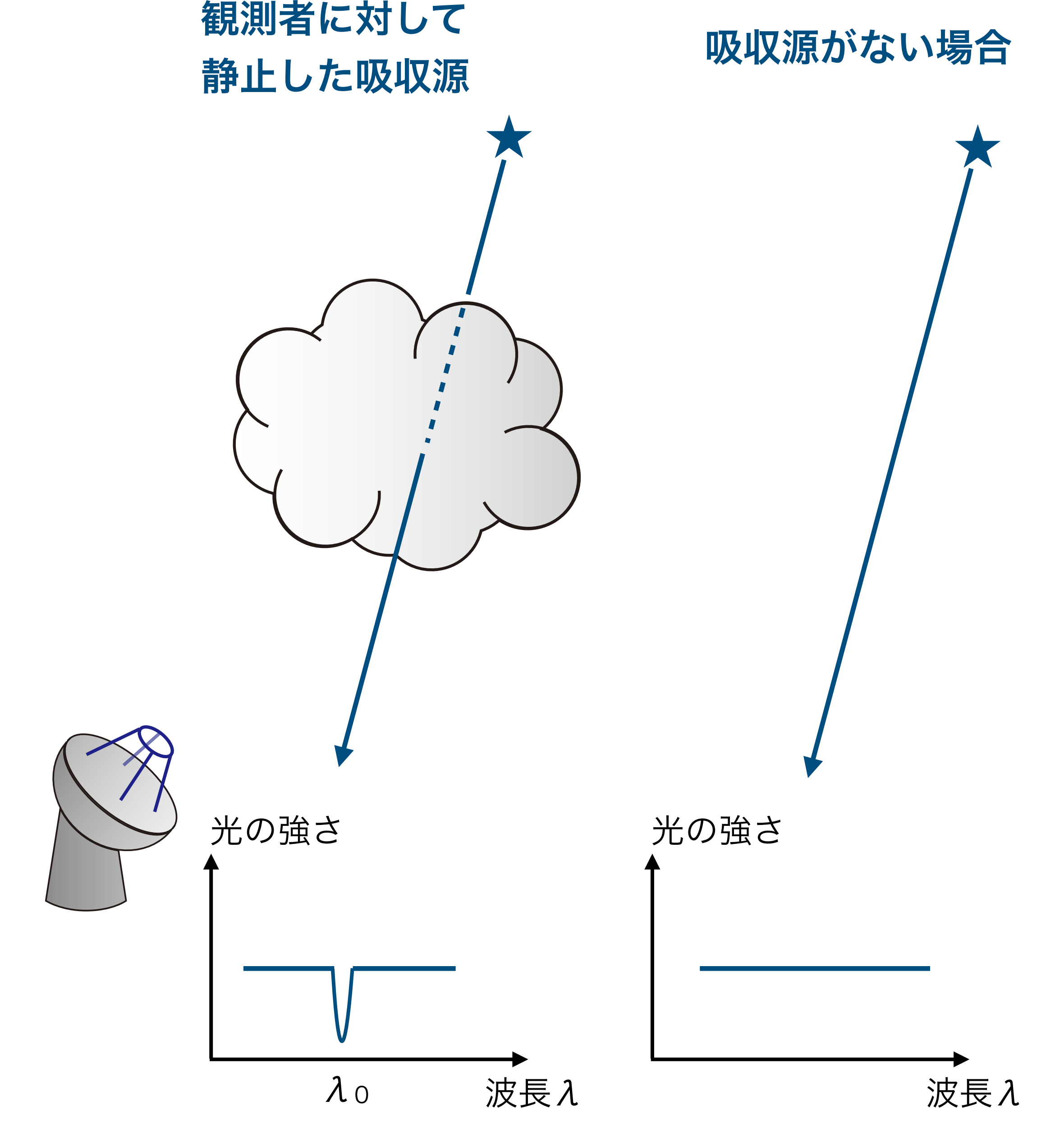
- 動いているものからの電磁波の波長が 動いていないものに対してずれる効果
- ・天体の(視線方向に沿った)運動を知る 上で重要な役割を果たす
- 観測者へ<u>向かってくる</u>光源・吸収源の 波長は短くなる(青方偏移: blueshift)
- 観測者から<u>遠ざかる</u>光源・吸収源の波 長は<u>長くなる</u>(赤方偏移: redshift)

観測者に対して 静止した放射源

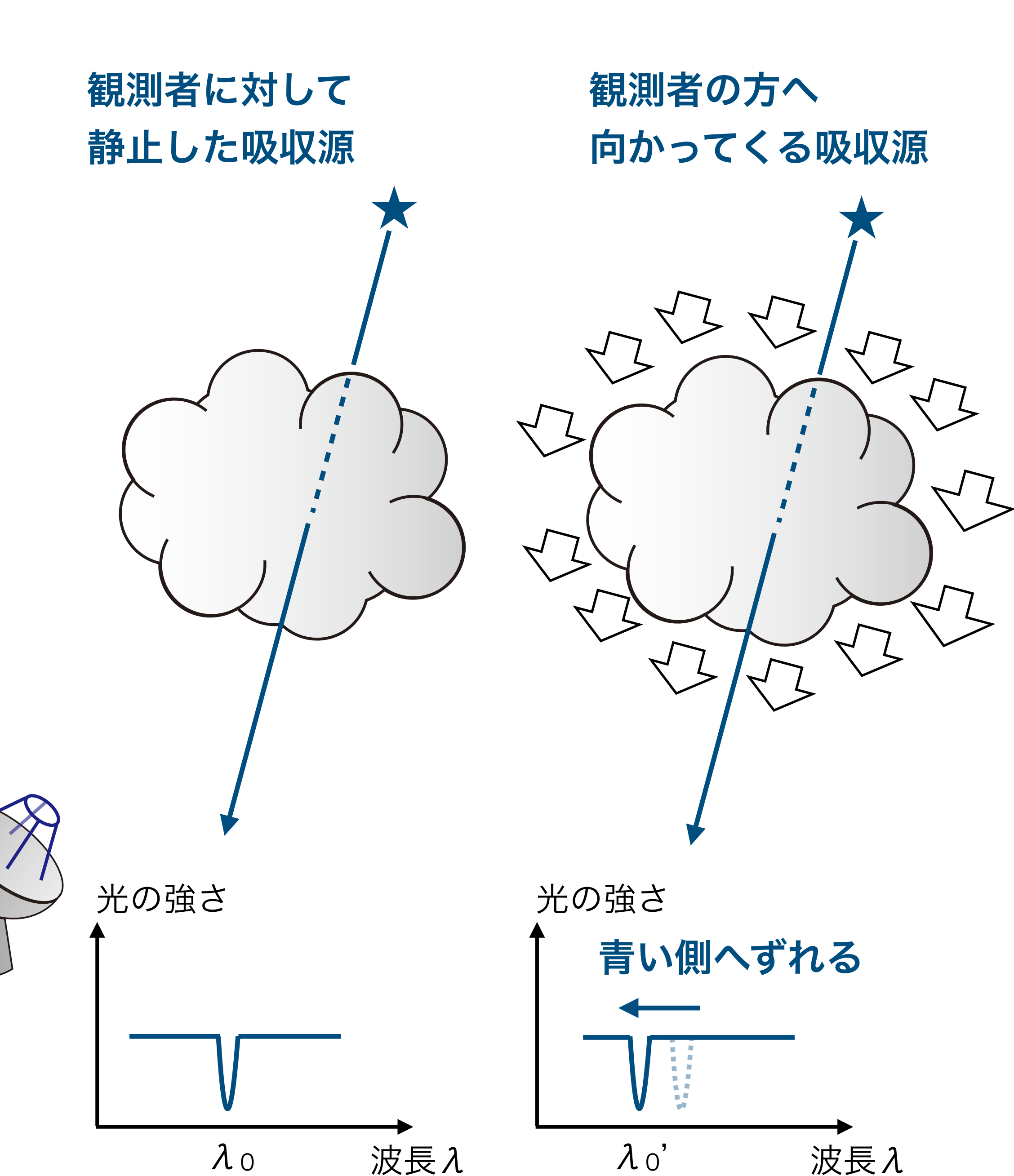
観測者から 遠ざかる放射源



- 動いているものからの電磁波の波長が 動いていないものに対してずれる効果
- ・天体の(視線方向に沿った)運動を知る 上で重要な役割を果たす
- 観測者へ<u>向かってくる</u>光源・吸収源の 波長は<u>短くなる</u>(青方偏移: blueshift)
- 観測者から<u>遠ざかる</u>光源・吸収源の波 長は<u>長くなる</u>(赤方偏移: redshift)



- 動いているものからの電磁波の波長が 動いていないものに対してずれる効果
- ・天体の(視線方向に沿った)運動を知る 上で重要な役割を果たす
- 観測者へ<u>向かってくる</u>光源・吸収源の 波長は短くなる(青方偏移: blueshift)
- 観測者から<u>遠ざかる</u>光源・吸収源の波 長は<u>長くなる(赤方偏移: redshift)</u>



- 動いているものからの電磁波の波長が 動いていないものに対してずれる効果
- ・天体の(視線方向に沿った)運動を知る 上で重要な役割を果たす
- 観測者へ<u>向かってくる</u>光源・吸収源の 波長は短くなる(青方偏移: blueshift)
- 観測者から<u>遠ざかる</u>光源・吸収源の波 長は<u>長くなる(赤方偏移: redshift)</u>

